

格子上のエネルギー運動量テンソルと その応用

伊藤 悦子(KEK)



共同研究者

FlowQCD collaboration

浅川、北沢 (大阪大学)

初田 (理研)

入谷 (Stony Brook)

伊藤 (KEK)

鈴木 (九州大学)

参考文献

H.Suzuki PTEP 2013, no8, 083B03 + Erratum

FlowQCD coll. Phys.Rev. D90 (2014) 1, 011501 + Erratum

FlowQCD coll. arXiv:1503.06516

共同研究者

FlowQCD collaboration

浅川、北沢 (大阪大学)

初田 (理研)

入谷 (Stony Brook)

伊藤 (KEK)

鈴木 (九州大学)

参考文献

H.Suzuki PTEP 2013, no8, 083B03 + Erratum

FlowQCD coll. Phys.Rev. D90 (2014) 1, 011501 + Erratum

FlowQCD coll. arXiv:1503.06516

格子シミュレーションを使って
エネルギー運動量テンソルを
どう測るか？

2010年ごろ…

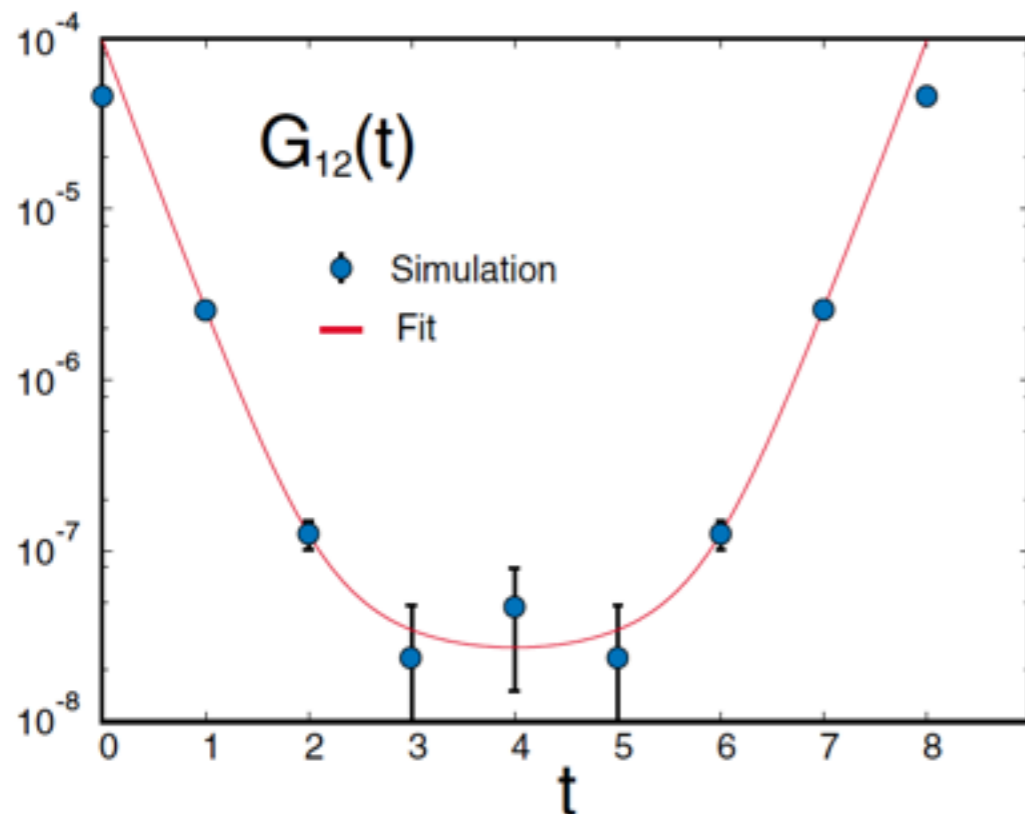
大野木さん@阪大

2010年ごろ…

大野木さん@阪大

「格子上でエネルギー運動量テンソルを測る研究は**死屍累々**です」

$$\langle T_{12}(t)T_{12}(0) \rangle$$



- ◆ 格子上で一般座標変換不変性がない
- ◆ 真空と同じ量子数のためnoisy

クエンチ近似QCD

$N_s=24, N_t=8$

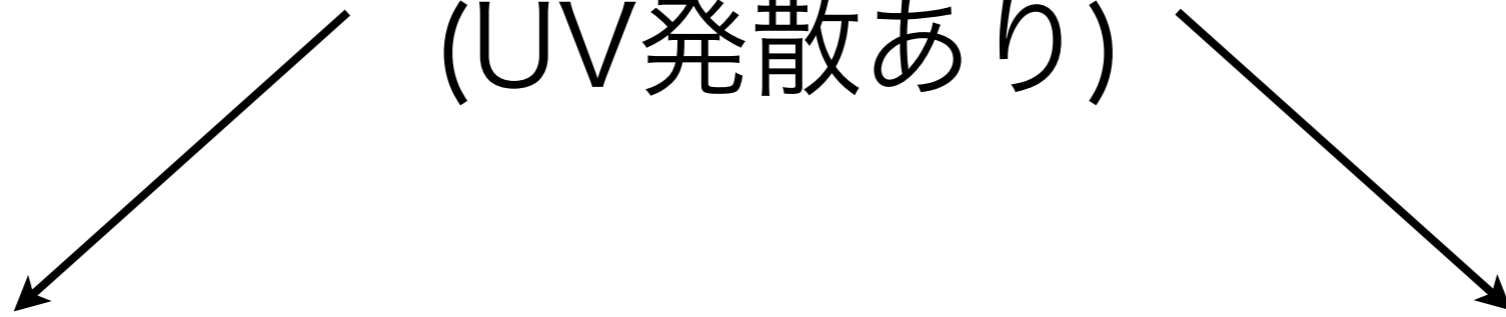
800,000配位

A.Nakamura and S.Sakai

PRL94(2005)072305

基本的なアイデア

量子場の理論
(UV発散あり)



摂動論で次元正則化
+ YM gradient flow

(一般座標変換不変性あり)



格子正則化

+ Wilson flow

($a \rightarrow 0$ を取る)

有限な flow timeでは、UV finite!

有限量同士なので、繰り込んだもの同士は、同じものになるはず
(摂動論的に関係づける。非摂動領域でもこれが成り立つと仮定。)

YM gradient flowとは？

Flow方程式

Luescher, JHEP 1008, 071 (2010)

$$\partial_t B_\mu(t, x) = D_\nu G_{\nu\mu}(t, x)$$

t: flow time; 質量次元 -2

t=0での初期条件

$$B_\mu(t = 0, x) = A_\mu(x)$$

特徴と応用

Luescher, (Lattice2013) arXiv:1308.5598

- topological charge の測定
- scale setting (t0, w0)
- 新しいrenormalized couplingの定義
- UV finite (特にゲージ場に波動関数くりこみが必要ない)
- chiral condensateの計算

YM gradient flowとは？

Flow方程式

Luescher, JHEP 1008, 071 (2010)

Yang–Mills gradient flow (continuum theory)

$$\partial_t B_\mu(t, x) = D_\nu G_{\nu\mu}(t, x) = \Delta B_\mu(t, x) + \dots, \quad B_\mu(t=0, x) = A_\mu(x)$$

Wilson flow (lattice theory)

$$\partial_t V(t, x, \mu) V(t, x, \mu)^{-1} = -g_0^2 \partial \mathcal{S}_{\text{Wilson}}, \quad V(t=0, x, \mu) = U(x, \mu)$$

リンク変数 $U(x, \mu) = e^{ig_0 A_\mu}$

UV finiteness of the gradient flow

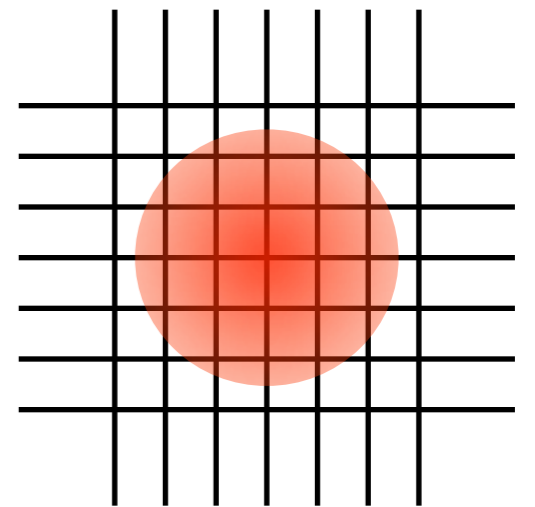
Flow方程式 (continuum)

$$\partial_t B_\mu(t, x) = D_\nu G_{\nu\mu}(t, x) \quad \text{初期条件: } B_\mu(t = 0, x) = A_\mu(x)$$

摂動展開のleading orderの解

$$B_\mu(t, x) = \int d^D y K_t(x - y) A_\mu(y)$$

$$K_t(z) = \int \frac{d^D p}{(2\pi)^D} e^{ipz} e^{-tp^2}$$



$p^2 > 1/t$ のモードを抑える (smoothなUVcutoffの役割)

$|x| < \sqrt{8t}$ の領域をsmearする

flow timeを`次元`とした拡張した時空でのall orderの摂動計算でも有限性が示された。

Luescher and Weisz, JHEP 1102, 051 (2011)

UV finiteness of the gradient flow

全ての相関関数が有限 $\langle B_\mu(t, x) B_\nu(t', x') \cdots \rangle$

$t' \rightarrow t, x' \rightarrow x$ の極限でも新しい発散項が出てこない!

複合演算子にしても波動関数くりこみがいらぬ

gradient flowした場の性質

$$B_\mu(t, x) B_\nu(t, x)|_{dim.reg.} = B_\mu(t, x) B_\nu(t, x)|_{latt.}$$

普通は、新たな発散項がでてこのような性質は成り立たない

$$(A_\mu(t, x))_R (A_\nu(t, x))_R|_{dim.reg.} \neq (A_\mu(t, x))_R (A_\nu(t, x))_R|_{latt}$$

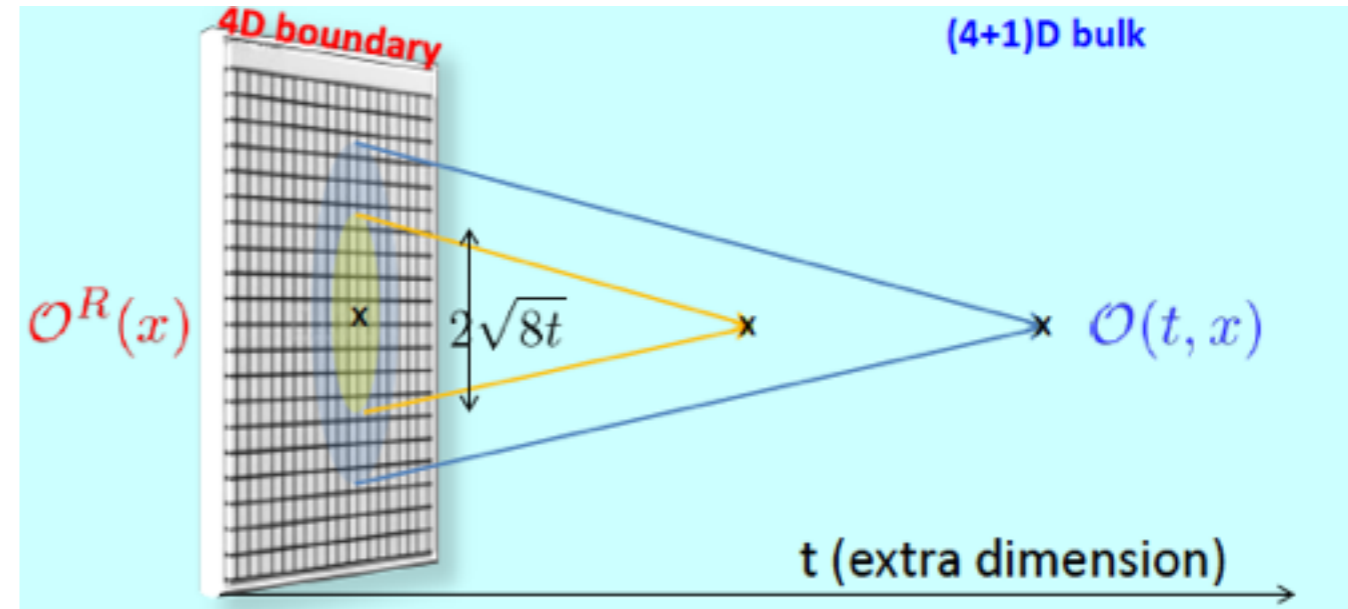
“Suzuki method”

- small flow time expansion -

flow させた場で2つの次元4の演算子(有限)

$$U_{\mu\nu}(t, x) \equiv G_{\mu\rho}^a(t, x)G_{\nu\rho}^a(t, x) - \frac{1}{4}\delta_{\mu\nu}G_{\rho\sigma}^a(t, x)G_{\rho\sigma}^a(t, x)$$

$$E(t, x) \equiv \frac{1}{4}G_{\mu\nu}^a(t, x)G_{\mu\nu}^a(t, x)$$



t->0近傍で、tのべきで展開

一般座標変換不変性、CP evenを仮定するとleadingはEMTでかける

$$U_{\mu\nu}(t, x) = \alpha_U(t) \left[\{T_{\mu\nu}\}_R(x) - \frac{1}{4}\delta_{\mu\nu} \{T_{\rho\rho}\}_R(x) \right] + O(t),$$

$$E(t, x) = \langle E(t, x) \rangle + \alpha_E(t) \{T_{\rho\rho}\}_R(x) + O(t),$$

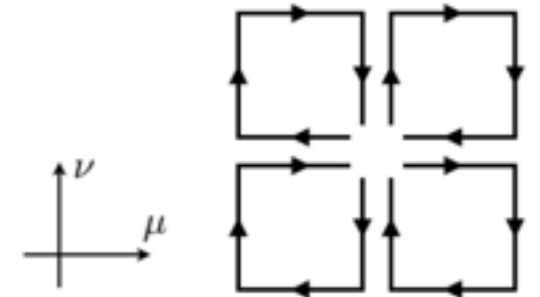
“Suzuki method” for pure gauge theory

Suzuki, PTEP 2013, no8, 083B03

関係式・・・格子上の次元4の演算子と繰り込んだEMTの関係

$$U_{\mu\nu}(t, x) = \alpha_U(t) \left[\{T_{\mu\nu}\}_R(x) - \frac{1}{4} \delta_{\mu\nu} \{T_{\rho\rho}\}_R(x) \right] + O(t),$$

$$E(t, x) = \langle E(t, x) \rangle + \alpha_E(t) \{T_{\rho\rho}\}_R(x) + O(t),$$



係数・・・繰り込んだ結合定数、beta関数の係数などでかける

$$\alpha_U(t)(g; \mu) = g^2 \left\{ 1 + 2b_0 \left[\ln(\sqrt{8t}\mu) + s_1 \right] g^2 + O(g^4) \right\},$$

$$\alpha_E(t)(g; \mu) = \frac{1}{2b_0} \left\{ 1 + 2b_0 s_2 g^2 + O(g^4) \right\},$$

b_0 1-loop beta関数の係数

MSbar schemeの時

$$s_1 = 0.03296\dots$$

$$s_2 = 0.19783\dots$$

“Suzuki method” for pure gauge theory

Suzuki, PTEP 2013, no8, 083B03

関係式・・・格子上の次元4の演算子と繰り込んだEMTの関係

$$U_{\mu\nu}(t, x) = \alpha_U(t) \left[\{T_{\mu\nu}\}_R(x) - \frac{1}{4} \delta_{\mu\nu} \{T_{\rho\rho}\}_R(x) \right] + O(t),$$

$$E(t, x) = \langle E(t, x) \rangle + \alpha_E(t) \{T_{\rho\rho}\}_R(x) + O(t),$$

係数・・・繰り込んだ結合定数、beta関数の係数などでかける

$$\alpha_U(t)(g; \mu) = g^2 \left\{ 1 + 2b_0 \left[\ln(\sqrt{8t}\mu) + s_1 \right] g^2 + O(g^4) \right\},$$

$$\alpha_E(t)(g; \mu) = \frac{1}{2b_0} \left\{ 1 + 2b_0 s_2 g^2 + O(g^4) \right\},$$

b_0 1-loop beta関数の係数

MSbar schemeの時

$$s_1 = -0.0863575$$

$$s_2 = 0.05578512$$

導出方法

普通のLattice QCD

Step 1

モンテカルロ・シミュレーションでゲージ配位を作る。

Step 2

生成したゲージ配位を使って、測りたい演算子の期待値を測定する。

Step 3

連続極限を取って、物理量を得る。

導出方法

Suzuki method

Step 1

t=0でゲージ配位を作る。

Step 2

Wilson flow方程式を解いて、flow time (t)でのゲージ配位を作る。

ただし、 $a \ll \sqrt{8t} \ll \Lambda_{QCD}^{-1}$ or T^{-1}

Step 3

flowさせたゲージ配位を使って、 $U_{\mu\nu}(t, x), E(t, x)$ を測定する。

Step 4

連続極限を取って、t->0の極限を取る。

(ただし、Step 2で書いた t の下限に気をつける。)

$$T_{\mu\nu}^R(x) = \lim_{t \rightarrow 0} \left\{ \frac{1}{\alpha_U(t)} U_{\mu\nu}(t, x) + \frac{\delta_{\mu\nu}}{4\alpha_E(t)} [E(t, x) - \langle E(t, x) \rangle_0] \right\}$$

EMTの一点関数から有限温度系のtrace anomalyとエントロピー密度を出してみる

Asakawa, Hatsuda, E.I., Kitazawa, Suzuki (FlowQCD coll.)
Phys.Rev. D90 (2014) 1, 011501

Simulation setup

- Wilson plaquette gauge action
- lattice size ($N_s=32$, $N_t=6,8,10,32$)
- 統計数 (100 - 300配位)
- simulation parameters

N_τ	6	8	10	T/T_c
	6.20	6.40	6.56	1.65
β	6.02	6.20	6.36	1.24
	5.89	6.06	6.20	0.99

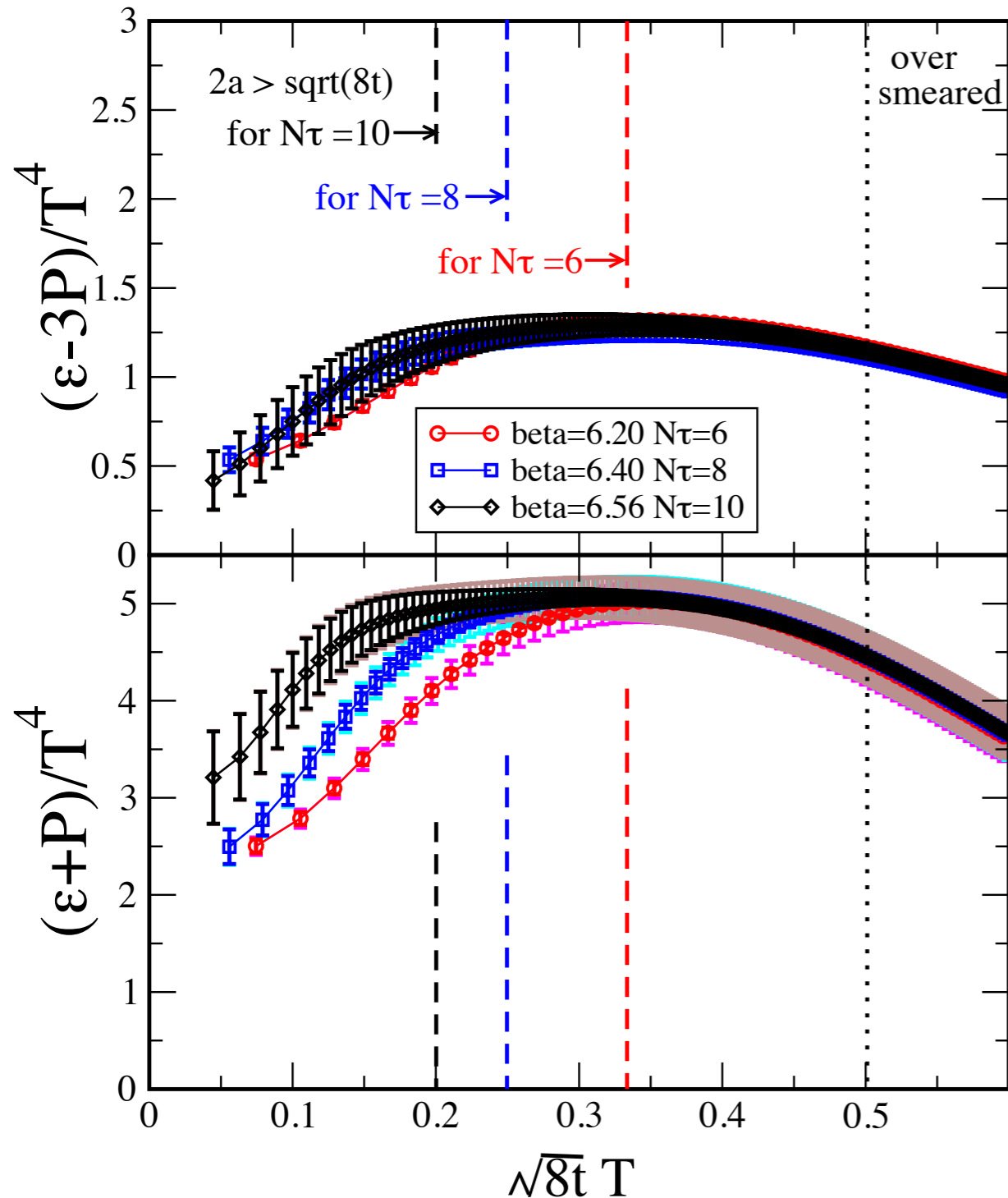
温度は[Boyd et. al. NPB469,419 \(1996\)](#)で決定

連続極限の定義は、Sommer scaleをreferenceに
[alpha collaboration NPB538,669 \(1999\)](#)で決定

$$\ln(a/r_0) = -1.6805 - 1.7139(\beta - 6) + 0.8155(\beta - 6)^2 - 0.6667(\beta - 6)^3.$$

$$\beta = 6/g_0^2$$

flow time依存性 ($T=1.65T_c$)



$$\epsilon - 3P = -\langle T_{\mu\mu}^R(x) \rangle$$

$$\epsilon + P = -\langle T_{00}^R(x) \rangle + \frac{1}{3} \sum_{i=1,2,3} \langle T_{ii}^R(x) \rangle$$

有効な領域

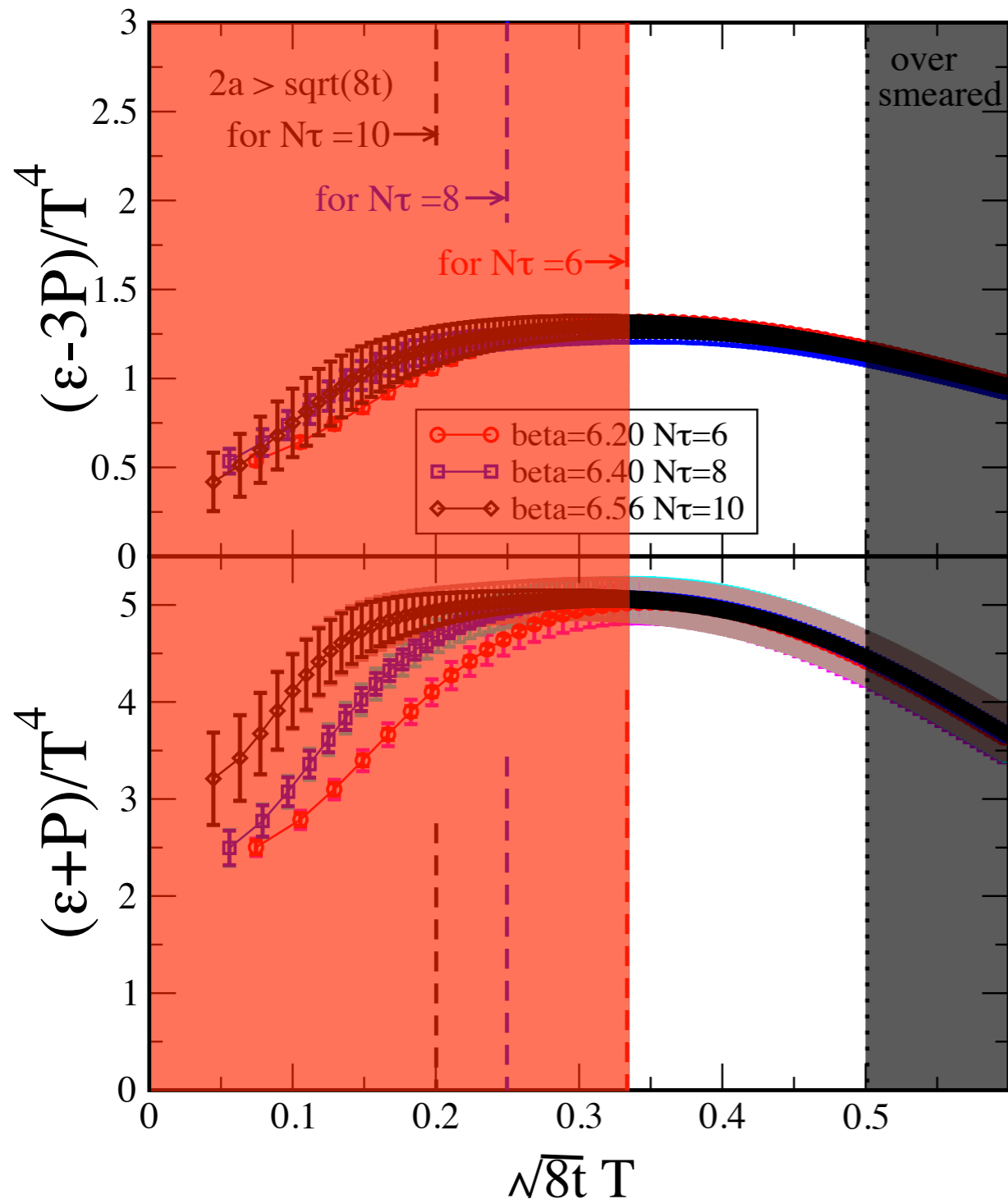
格子間隔(lattice cutoff)が見えない領域
 oversmearingにならない領域

$$2a < \sqrt{8t} < N_\tau a/2$$

- ◆ 有効な領域では、プラトーに見える (高次演算子は小さい?)
- ◆ Practicalに $t \rightarrow 0$ を取る必要なし
- ◆ 連続極限に近いデータほど、小さい t が有効
- ◆ エントロピー密度は系統誤差(scale setting) が支配的

濃い色は統計誤差のみ、薄い色は系統誤差を含む

flow time依存性 ($T=1.65T_c$)



$$\epsilon - 3P = -\langle T_{\mu\mu}^R(x) \rangle$$

$$\epsilon + P = -\langle T_{00}^R(x) \rangle + \frac{1}{3} \sum_{i=1,2,3} \langle T_{ii}^R(x) \rangle$$

有効な領域

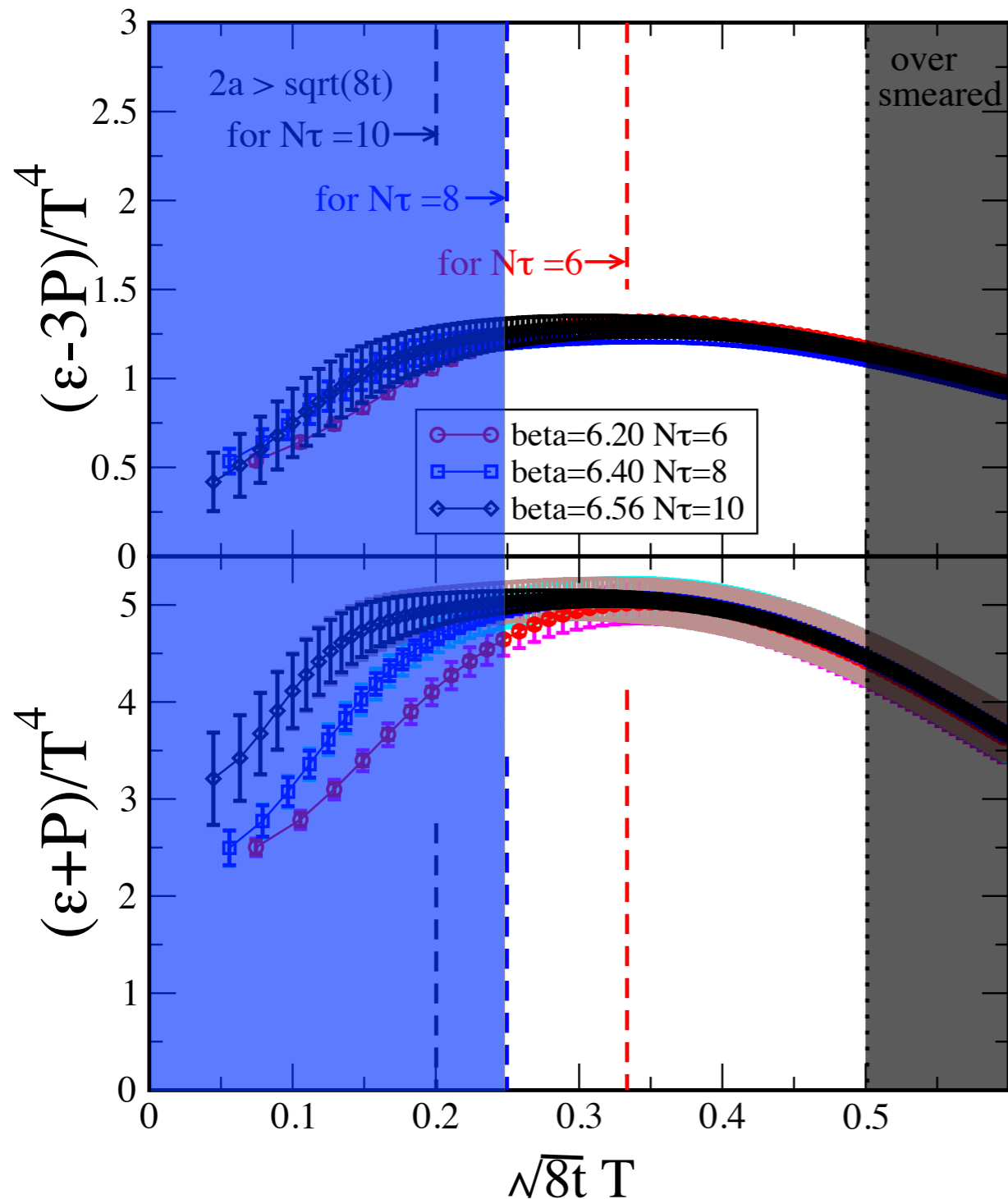
格子間隔(lattice cutoff)が見えない領域
oversmearingにならない領域

$$2a < \sqrt{8t} < N_\tau a/2$$

- ◆ 有効な領域では、プラトーに見える (高次演算子は小さい?)
- ◆ Practicalに $t \rightarrow 0$ を取る必要なし
- ◆ 連続極限に近いデータほど、小さい t が有効
- ◆ エントロピー密度は系統誤差(scale setting) が支配的

濃い色は統計誤差のみ、薄い色は系統誤差を含む

flow time依存性 ($T=1.65T_c$)



$$\varepsilon - 3P = -\langle T_{\mu\mu}^R(x) \rangle$$

$$\varepsilon + P = -\langle T_{00}^R(x) \rangle + \frac{1}{3} \sum_{i=1,2,3} \langle T_{ii}^R(x) \rangle$$

有効な領域

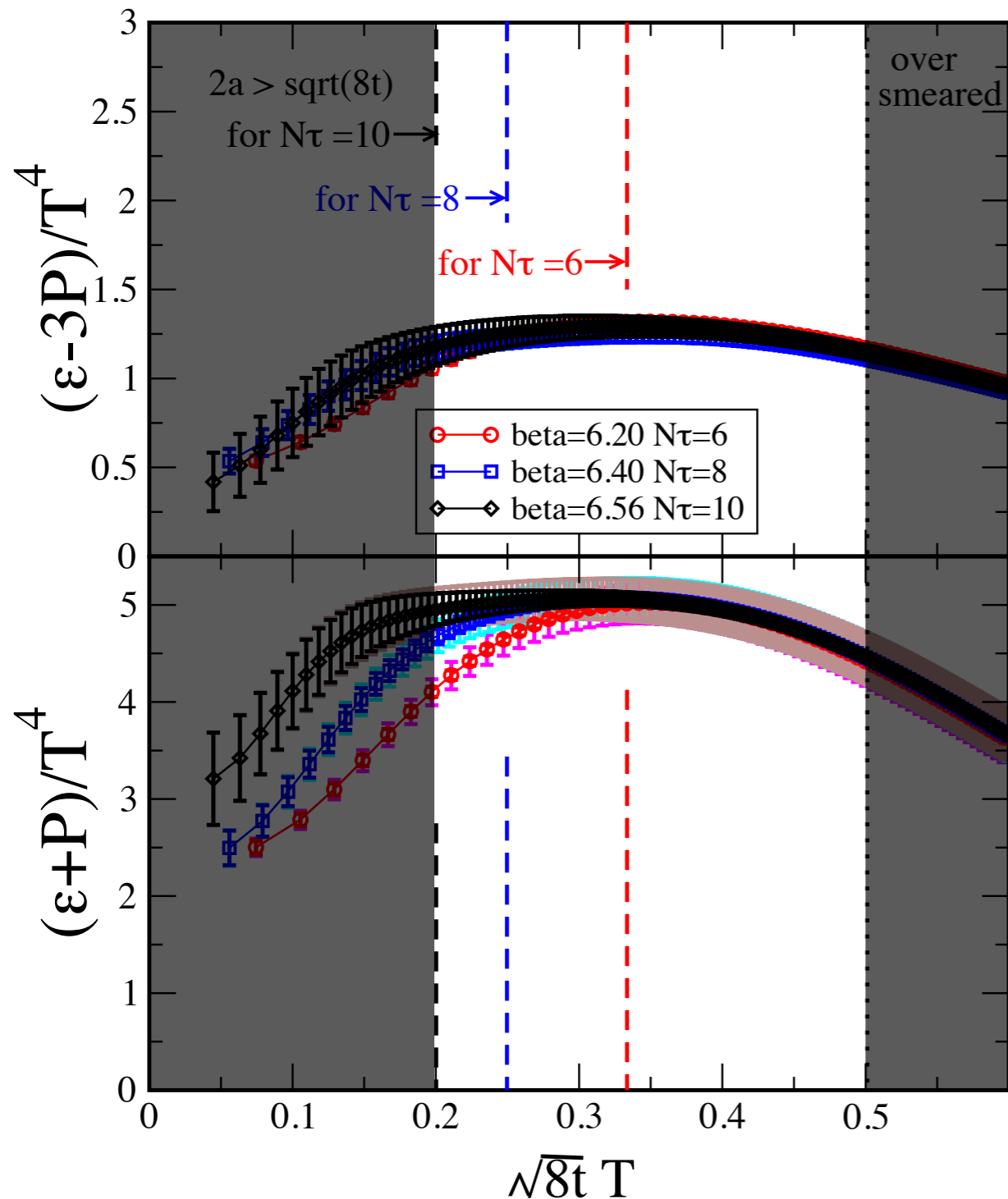
格子間隔(lattice cutoff)が見えない領域
oversmearingにならない領域

$$2a < \sqrt{8t} < N_\tau a/2$$

- ◆ 有効な領域では、プラトーに見える (高次演算子は小さい?)
- ◆ Practicalに $t \rightarrow 0$ を取る必要なし
- ◆ 連続極限に近いデータほど、小さい t が有効
- ◆ エントロピー密度は系統誤差(scale setting) が支配的

濃い色は統計誤差のみ、薄い色は系統誤差を含む

flow time依存性 ($T=1.65T_c$)



$$\varepsilon - 3P = -\langle T_{\mu\mu}^R(x) \rangle$$

$$\varepsilon + P = -\langle T_{00}^R(x) \rangle + \frac{1}{3} \sum_{i=1,2,3} \langle T_{ii}^R(x) \rangle$$

有効な領域

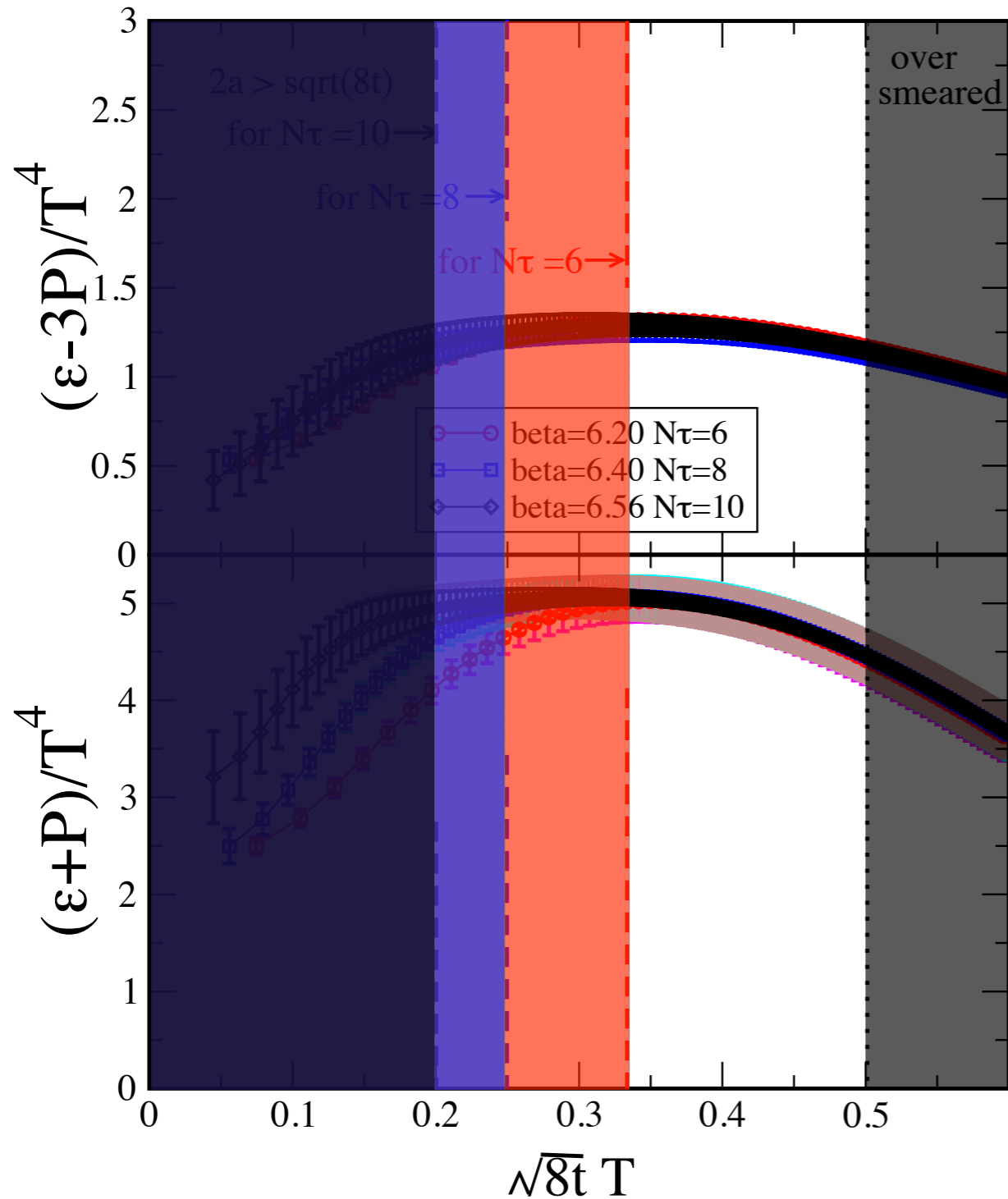
格子間隔(lattice cutoff)が見えない領域
oversmearingにならない領域

$$2a < \sqrt{8t} < N_\tau a/2$$

- ◆ 有効な領域では、プラトーに見える (高次演算子は小さい?)
- ◆ Practicalに $t \rightarrow 0$ を取る必要なし
- ◆ 連続極限に近いデータほど、小さい t が有効
- ◆ エントロピー密度は系統誤差(scale setting) が支配的

濃い色は統計誤差のみ、薄い色は系統誤差を含む

flow time依存性 ($T=1.65T_c$)



$$\epsilon - 3P = -\langle T_{\mu\mu}^R(x) \rangle$$

$$\epsilon + P = -\langle T_{00}^R(x) \rangle + \frac{1}{3} \sum_{i=1,2,3} \langle T_{ii}^R(x) \rangle$$

有効な領域

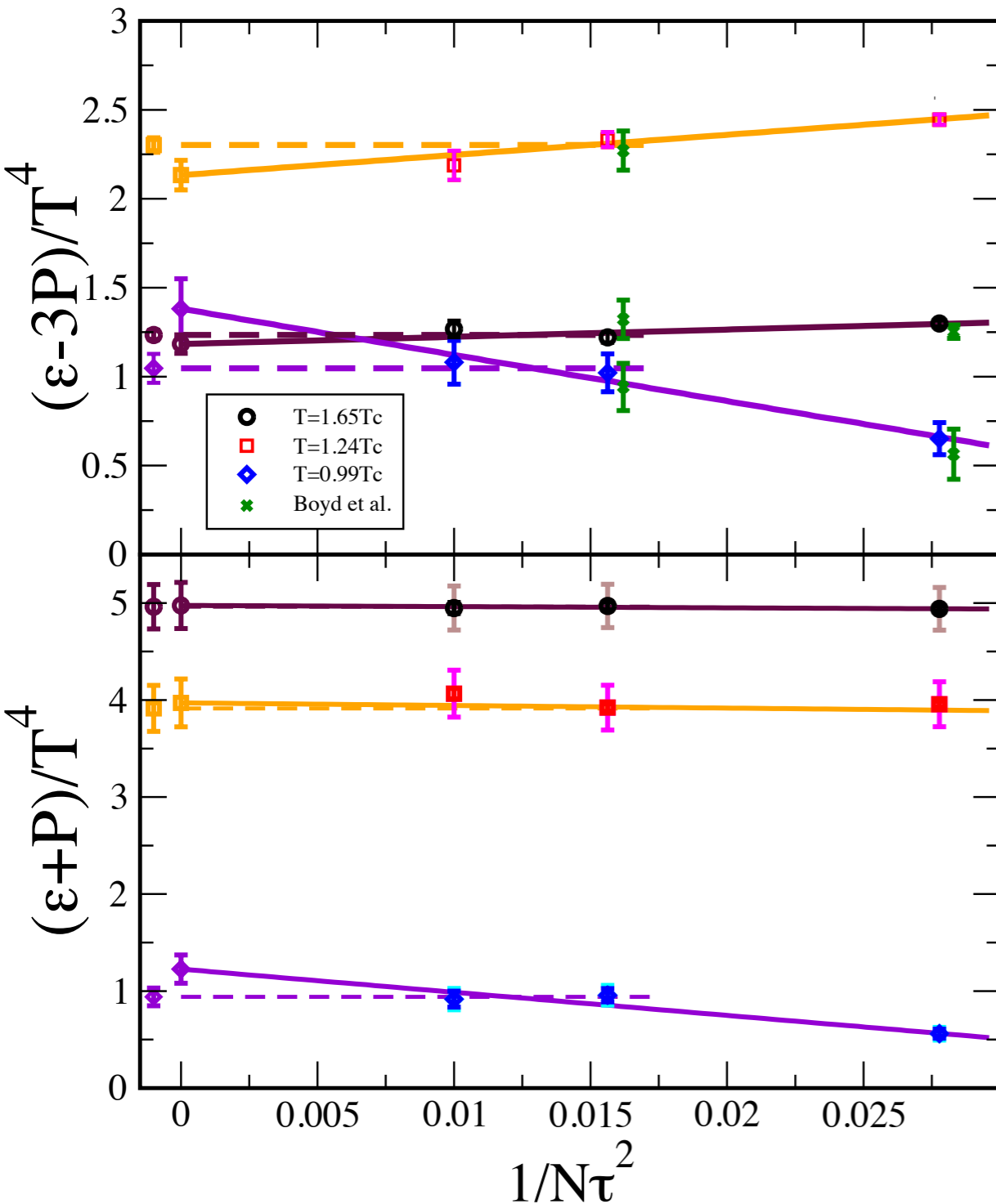
格子間隔(lattice cutoff)が見えない領域
oversmearingにならない領域

$$2a < \sqrt{8t} < N_\tau a/2$$

- ◆ 有効な領域では、プラトーに見える (高次演算子は小さい?)
- ◆ Practicalに $t \rightarrow 0$ を取る必要なし
- ◆ 連続極限に近いデータほど、小さい t が有効
- ◆ エントロピー密度は系統誤差(scale setting) が支配的

濃い色は統計誤差のみ、薄い色は系統誤差を含む

連続極限の様子



$\sqrt{8t}T = 0.4$ でのデータの連続極限

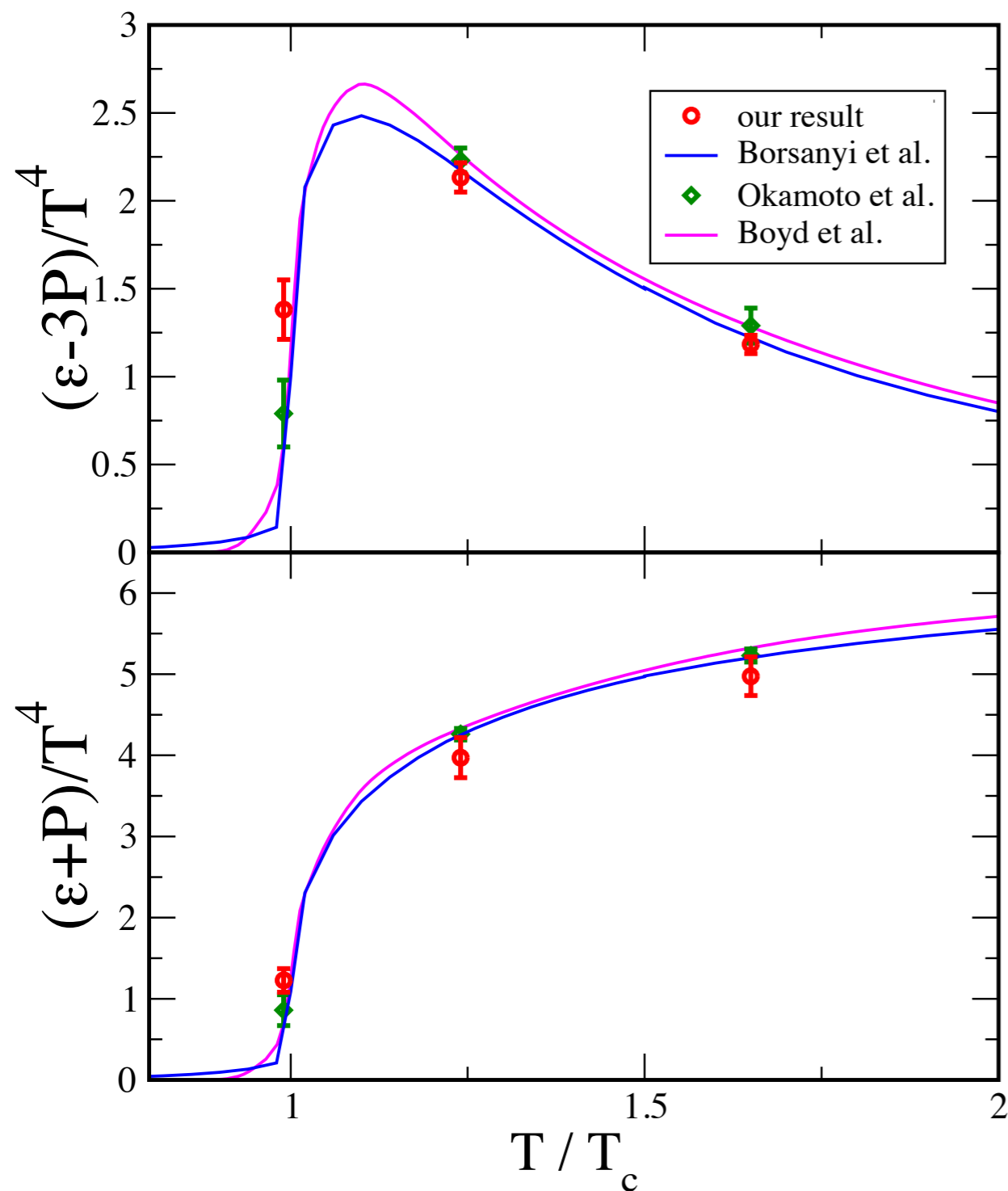
- Boyd et.al.との生データの比較
(2-3倍高精度)

- 3点のデータを線形関数で外挿

- 連続極限に近いデータ2点で定数フィット
(系統誤差)

- 有効な領域内では、flow timeを変えても結果は無矛盾

積分法との比較



Boyd et. al.

NPB469,419 (1996)

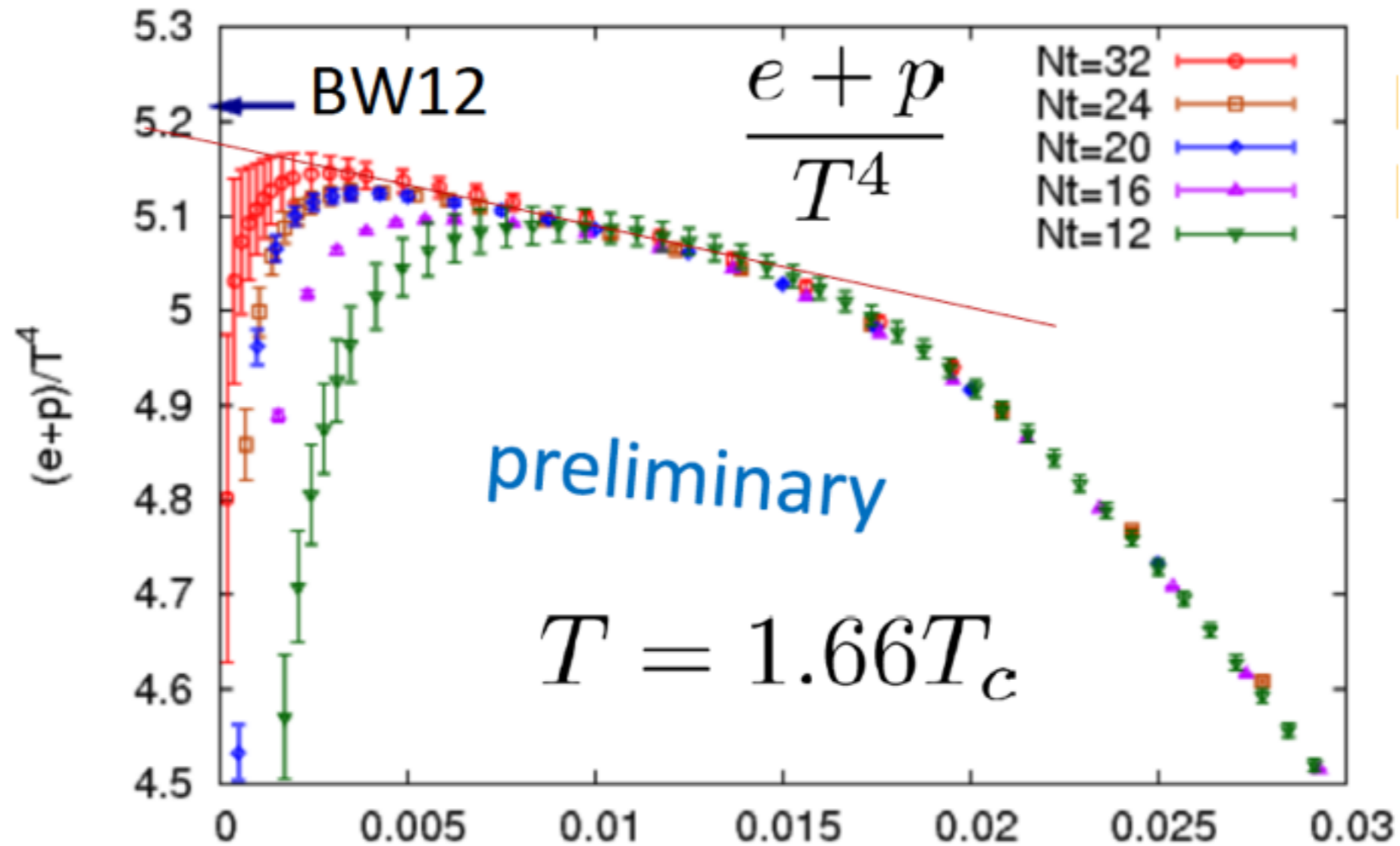
Okamoto et. al. (CP-PACS)

PRD60, 094510 (1999)

Borsanyi et. al.

JHEP 1207, 056 (2012)

精密計算(preliminary)



より細かい格子間隔で計算を実行中

細かい格子間隔のデータはより小さなflow timeのデータを使うことができる
O(t)の補正が見える(a->0、t->0の2つの外挿が必要)

$(2+1)$ flavor QCD

WHOT QCD collaboration

梅田、谷口、金谷

+

JLQCD/CP-PACS collaboration

導出方法

pure YMの場合

Step 1

t=0でゲージ配位を作る。

Step 2

Wilson flow方程式を解いて、flow time (t)でのゲージ配位を作る。

ただし、 $a \ll \sqrt{8t} \ll \Lambda_{QCD}^{-1}$ or T^{-1}

Step 3

flowさせたゲージ配位を使って、 $U_{\mu\nu}(t, x), E(t, x)$ を測定する。

Step 4

連続極限を取って、t->0の極限を取る。

(ただし、Step 2で書いた t の下限に気をつける。)

$$T_{\mu\nu}^R(x) = \lim_{t \rightarrow 0} \left\{ \frac{1}{\alpha_U(t)} U_{\mu\nu}(t, x) + \frac{\delta_{\mu\nu}}{4\alpha_E(t)} [E(t, x) - \langle E(t, x) \rangle_0] \right\}$$

導出方法

full QCDの場合

Step 1

t=0でゲージ配位を作る。

With fermion

Step 2

Wilson flow方程式を解いて、flow time (t)でのゲージ配位を作る。

ただし、 $a \ll \sqrt{8t} \ll \Lambda_{QCD}^{-1}$ or T^{-1}

With fermion flow

M.Luescher, JHEP 04 (2013) 123

Step 3

flowさせたゲージ配位を使って、 $U_{\mu\nu}(t, x), E(t, x)$ を測定する。

Add operators with fermion

H.Makino and H.Suzuki, PTEP 2014 (2014) 6, 063B02

Step 4

連続極限を取って、t->0の極限を取る。

(ただし、Step 2で書いた t の下限に気をつける。)

$$T_{\mu\nu}^R(x) = \lim_{t \rightarrow 0} \left\{ \frac{1}{\alpha_U(t)} U_{\mu\nu}(t, x) + \frac{\delta_{\mu\nu}}{4\alpha_E(t)} [E(t, x) - \langle E(t, x) \rangle_0] \right\}$$

Fermion flow

M.Luescher, JHEP 04 (2013) 123

Gauge flow

$$\partial_t V_t = Z(V_t) V_t,$$

Fermion (adjoint) flow

$$\partial_t \chi_t = \Delta(V_t) \chi_t,$$

initial cond. $\xi_t^\epsilon(x) = \eta(x),$

$$W_3 = \exp\left\{\frac{3}{4}Z_2 - \frac{8}{9}Z_1 + \frac{17}{36}Z_0\right\}W_2,$$

$$W_2 = \exp\left\{\frac{8}{9}Z_1 - \frac{17}{36}Z_0\right\}W_1,$$

$$W_1 = \exp\left\{\frac{1}{4}Z_0\right\}W_0,$$

$$W_0 = V_t,$$

$$\lambda_3 = \xi_{s+\epsilon}^\epsilon,$$

$$\lambda_2 = \frac{3}{4}\Delta_2\lambda_3,$$

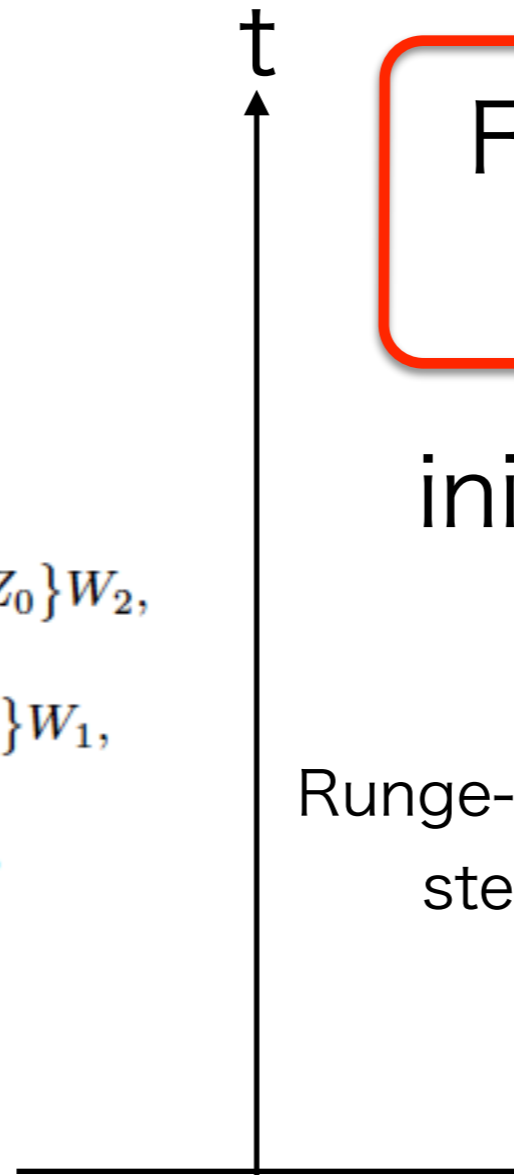
$$\lambda_1 = \lambda_3 + \frac{8}{9}\Delta_1\lambda_2,$$

$$\lambda_0 = \lambda_1 + \lambda_2 + \frac{1}{4}\Delta_0(\lambda_1 - \frac{8}{9}\lambda_2)$$

Runge-Kutta
step

Runge-Kutta
step

initial cond. $V|_{t=0} = U$



operators with fermion

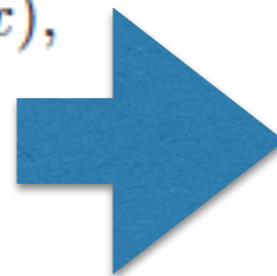
H.Makino and H.Suzuki, PTEP 2014 (2014) 6, 063B02

$$\begin{aligned}
 \{T_{\mu\nu}\}_R(x) = & c_1(t) \left[\tilde{\mathcal{O}}_{1\mu\nu}(t, x) - \frac{1}{4} \tilde{\mathcal{O}}_{2\mu\nu}(t, x) \right] \\
 & + c_2(t) \left[\tilde{\mathcal{O}}_{2\mu\nu}(t, x) - \langle \tilde{\mathcal{O}}_{2\mu\nu}(t, x) \rangle \right] \\
 \text{added } \left\{ \right. & + c_3(t) \left[\tilde{\mathcal{O}}_{3\mu\nu}(t, x) - 2\tilde{\mathcal{O}}_{4\mu\nu}(t, x) - \langle \tilde{\mathcal{O}}_{3\mu\nu}(t, x) - 2\tilde{\mathcal{O}}_{4\mu\nu}(t, x) \rangle \right] \\
 & + c_4(t) \left[\tilde{\mathcal{O}}_{4\mu\nu}(t, x) - \langle \tilde{\mathcal{O}}_{4\mu\nu}(t, x) \rangle \right] \\
 & \left. + c_5(t) \left[\tilde{\mathcal{O}}_{5\mu\nu}(t, x) - \langle \tilde{\mathcal{O}}_{5\mu\nu}(t, x) \rangle \right] + O(t), \right.
 \end{aligned}$$

$$\mathcal{O}_{3\mu\nu}(x) \equiv \bar{\psi}(x) \left(\gamma_\mu \overleftrightarrow{D}_\nu + \gamma_\nu \overleftrightarrow{D}_\mu \right) \psi(x),$$

$$\mathcal{O}_{4\mu\nu}(x) \equiv \delta_{\mu\nu} \bar{\psi}(x) \overleftrightarrow{\not{D}} \psi(x),$$

$$\mathcal{O}_{5\mu\nu}(x) \equiv \delta_{\mu\nu} m_0 \bar{\psi}(x) \psi(x).$$



本質的には以下の2種類

$$t_{\mu\nu}^r(t) \equiv \frac{1}{N_\Gamma} \sum_x \langle \bar{\chi}_r(t, x) \gamma_\mu (D_\nu - \overleftarrow{D}_\nu) \chi_r(t, x) \rangle,$$

$$s^r(t) \equiv \frac{1}{N_\Gamma} \sum_x \langle \bar{\chi}_r(t, x) \chi_r(t, x) \rangle,$$

Lattice setup

- Iwasaki gauge action + improved Wilson fermion
- lattice size ($N_s=32$, $N_t=8$)
- $m_{ps}/m_v=0.6337(38)$ for u,d quarks
- $m_{ps}/m_v=0.7377(28)$ for s quark
- each configuration is separated by 100 MC trj.

Parametrization is given by

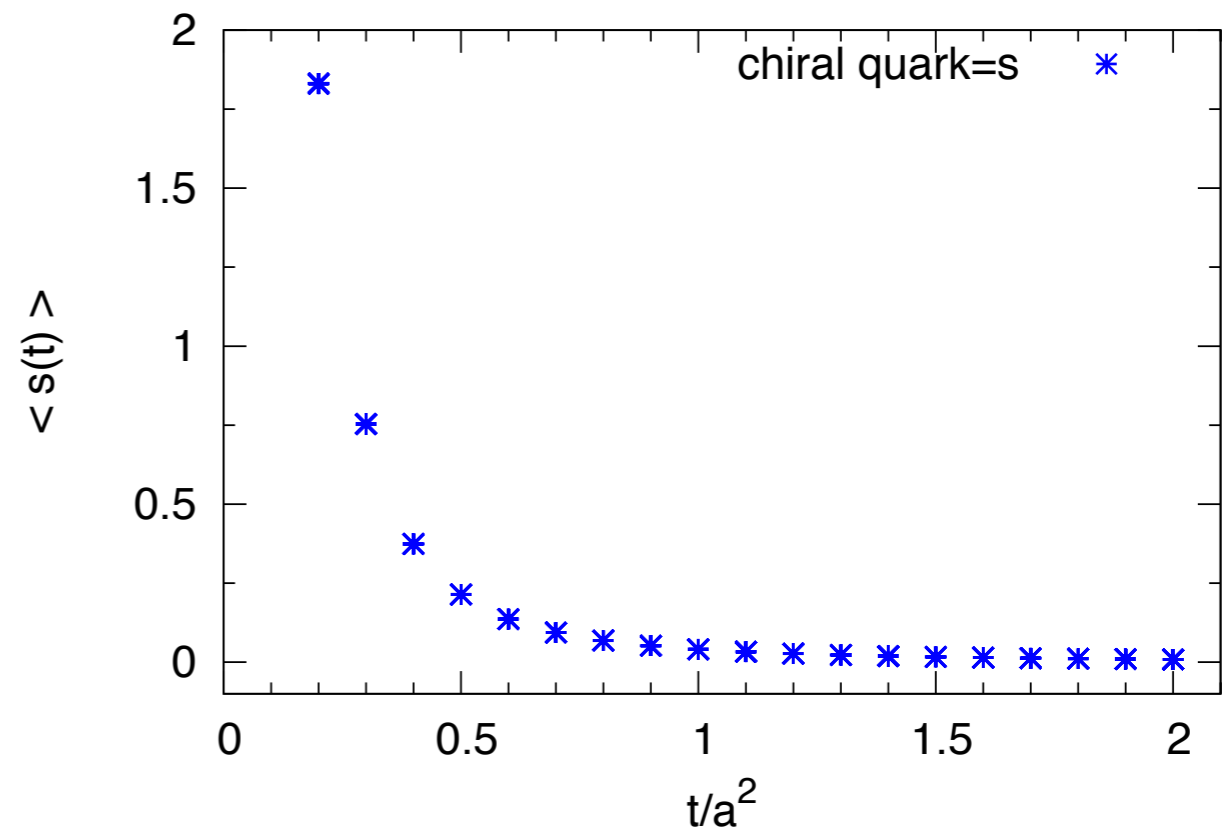
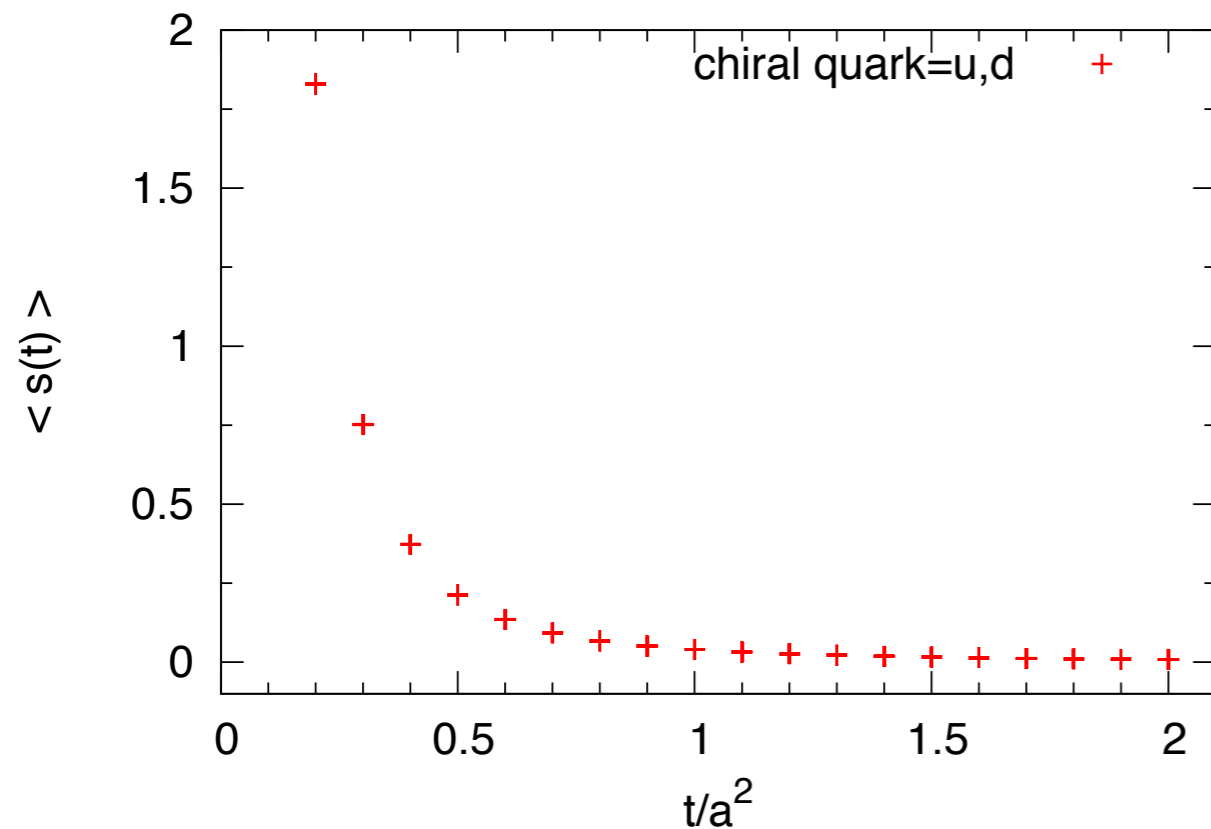
T.Umeda et.al. for WHOT-QCD coll., Phys.Rev.D85,094508(2012)

preliminary results

T=280MeV

Nt=8, beta=1.9728, c_sw=1.66922, kappa_ud=0.136147, kappa_s=0.135417

$$s^r(t) \equiv \frac{1}{N_\Gamma} \sum_x \langle \bar{\chi}_r(t, x) \chi_r(t, x) \rangle$$



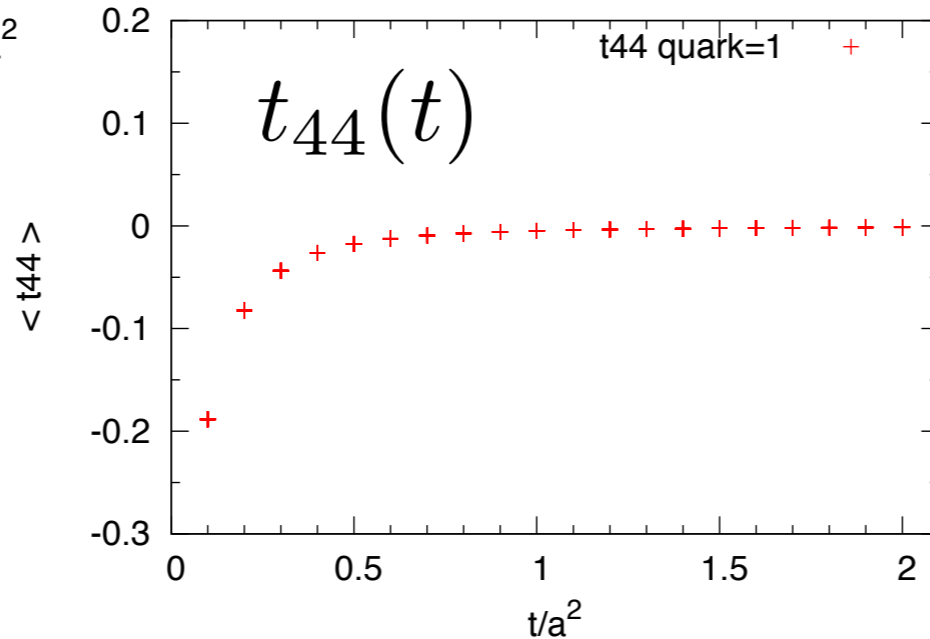
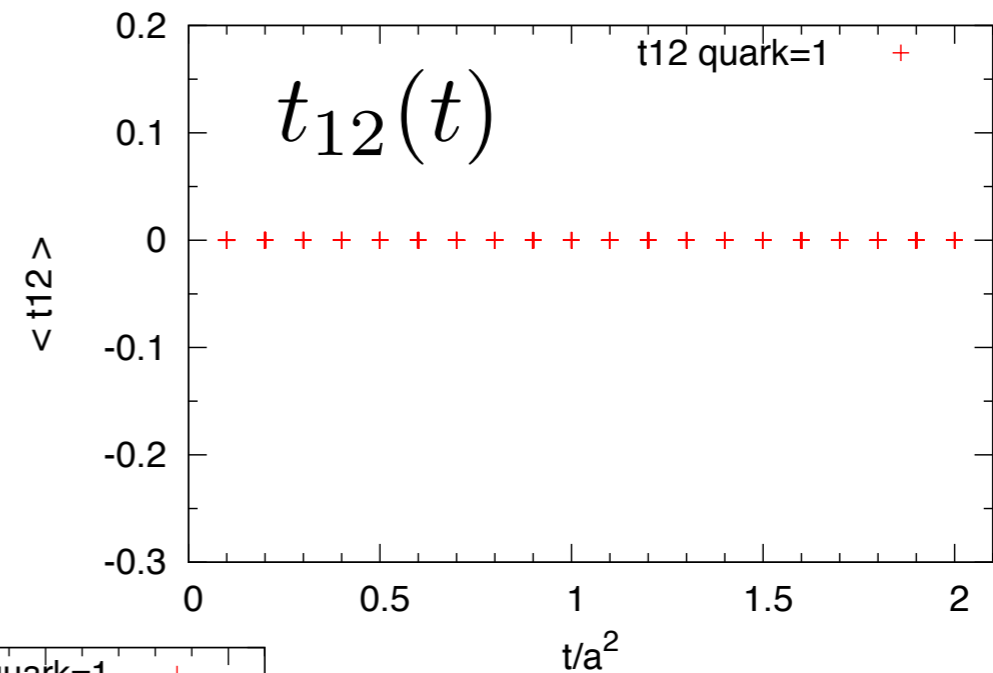
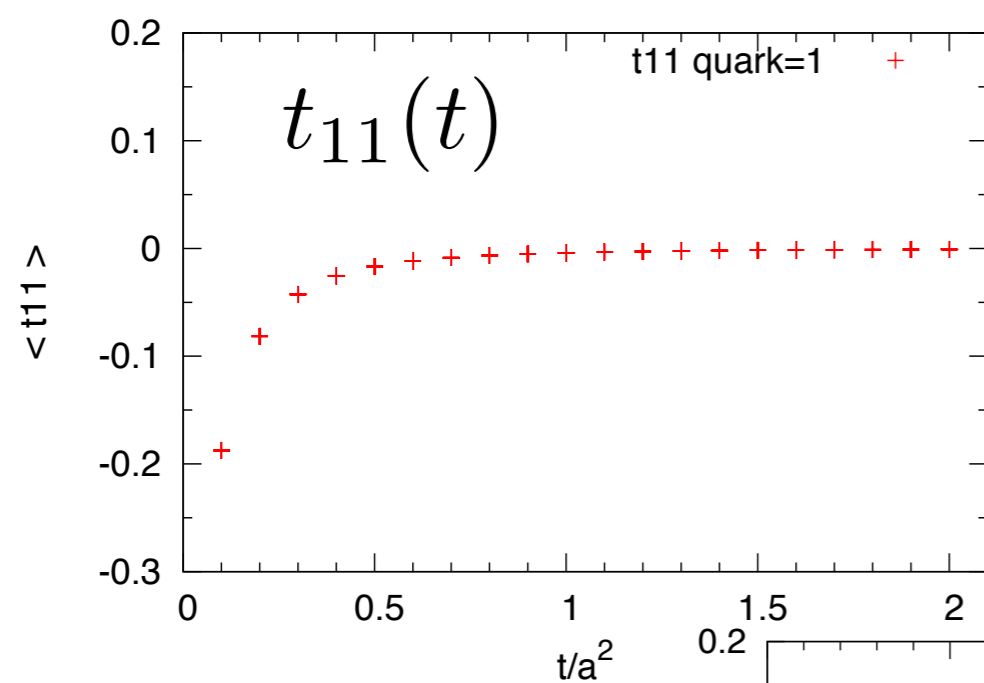
シグナルがとれている(配位数10個)

preliminary results

T=280MeV

Nt=8, beta=1.9728, c_sw=1.66922, kappa_ud=0.136147, kappa_s=0.135417

$$t_{\mu\nu}^r(t) \equiv \frac{1}{N_F} \sum_x \left\langle \bar{\chi}_r(t, x) \gamma_\mu \left(D_\nu - \overleftarrow{D}_\nu \right) \chi_r(t, x) \right\rangle$$



gradient flowの
その他の応用

応用(1): スケール設定

応用(2): EMTの2点関数の測定

応用(3): running coupling constantの計算

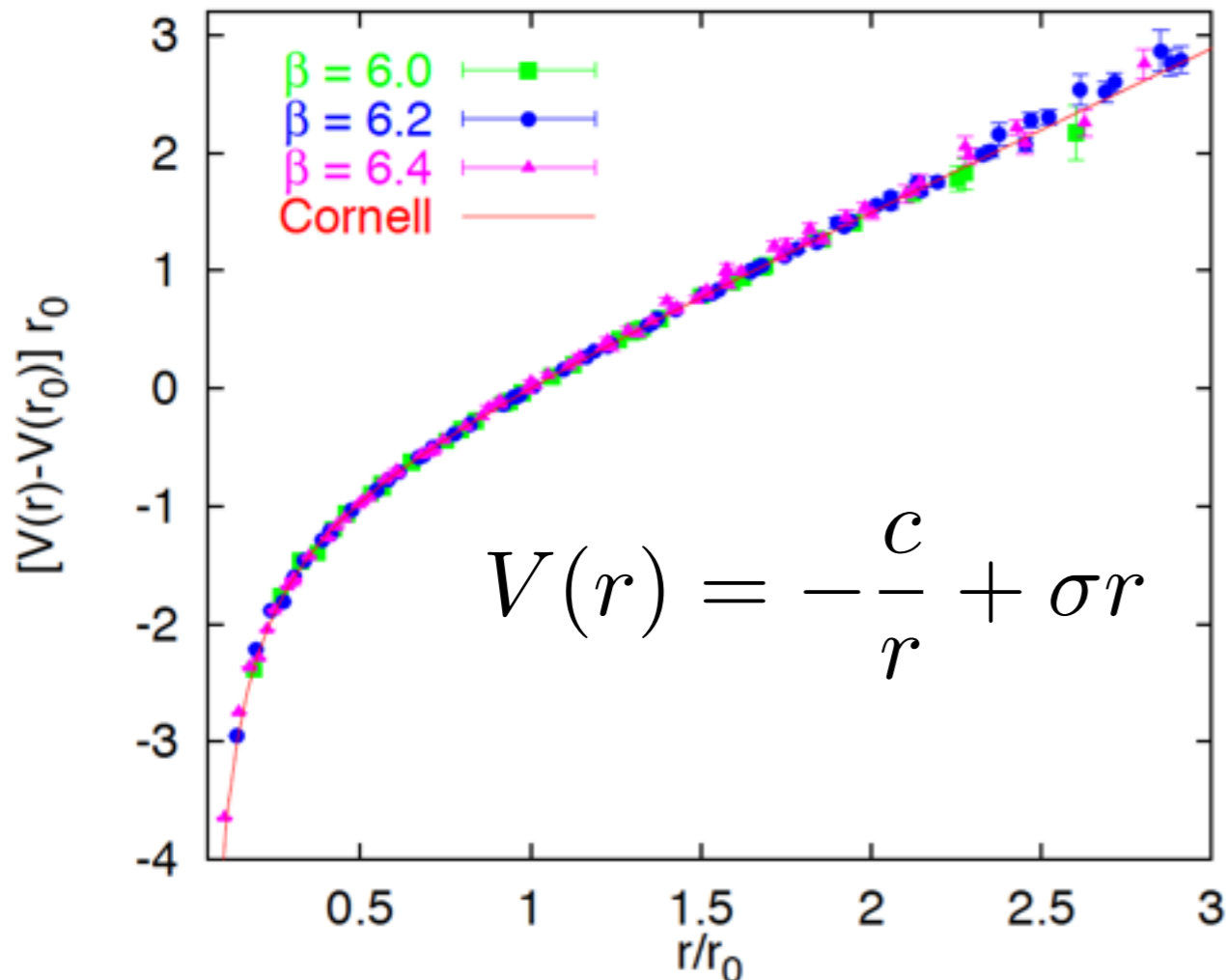
応用(4): flow方程式をホログラフィー方程式と解釈

応用(5): トポロジーの測定

応用(1): スケール設定

格子データの連続極限を取る際、物理量を固定して $a \rightarrow 0$ にする必要がある

QCDでは、lattice bare gauge couplingと a が1対1対応



Sommer scale r_0

(これまで主流だったreference scale)

摂動領域と強結合領域のちょうど中間くらい

$$r^2 \partial_r V(r) \Big|_{r=r_0} = 1.65$$

q-qvar potential = Wilson loop
から決定

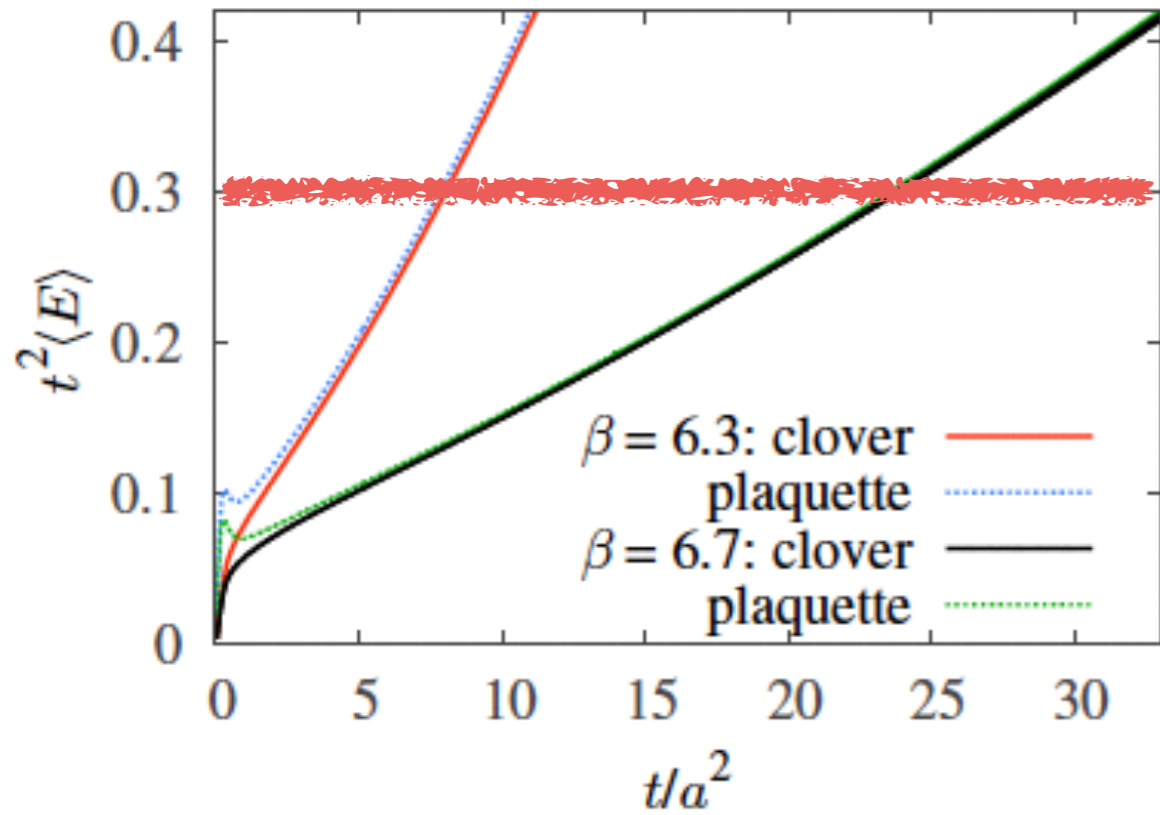
G. Bali Phys. Rept.343,(2001)1

alpha collaboration NPB538,669 (1999)

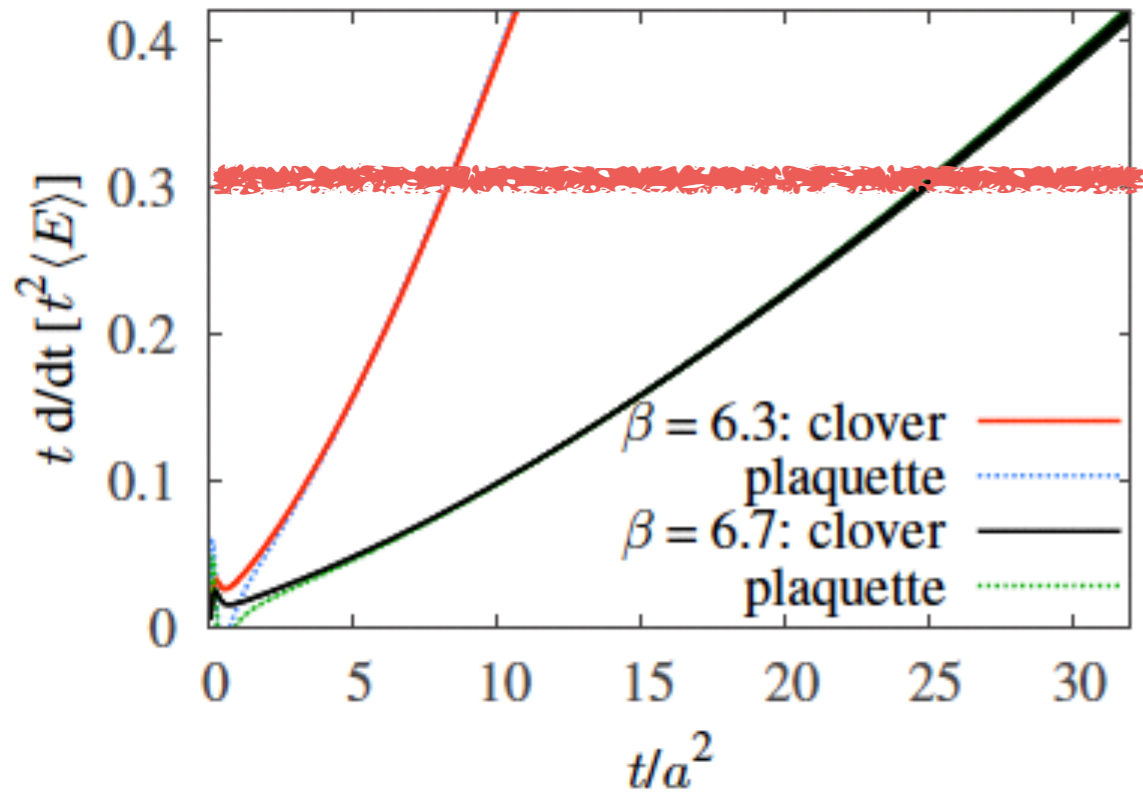
$$\beta = 6/g_0^2$$

$$\ln(a/r_0) = -1.6805 - 1.7139(\beta - 6) + 0.8155(\beta - 6)^2 - 0.6667(\beta - 6)^3$$

gradient flowを使ったスケール設定



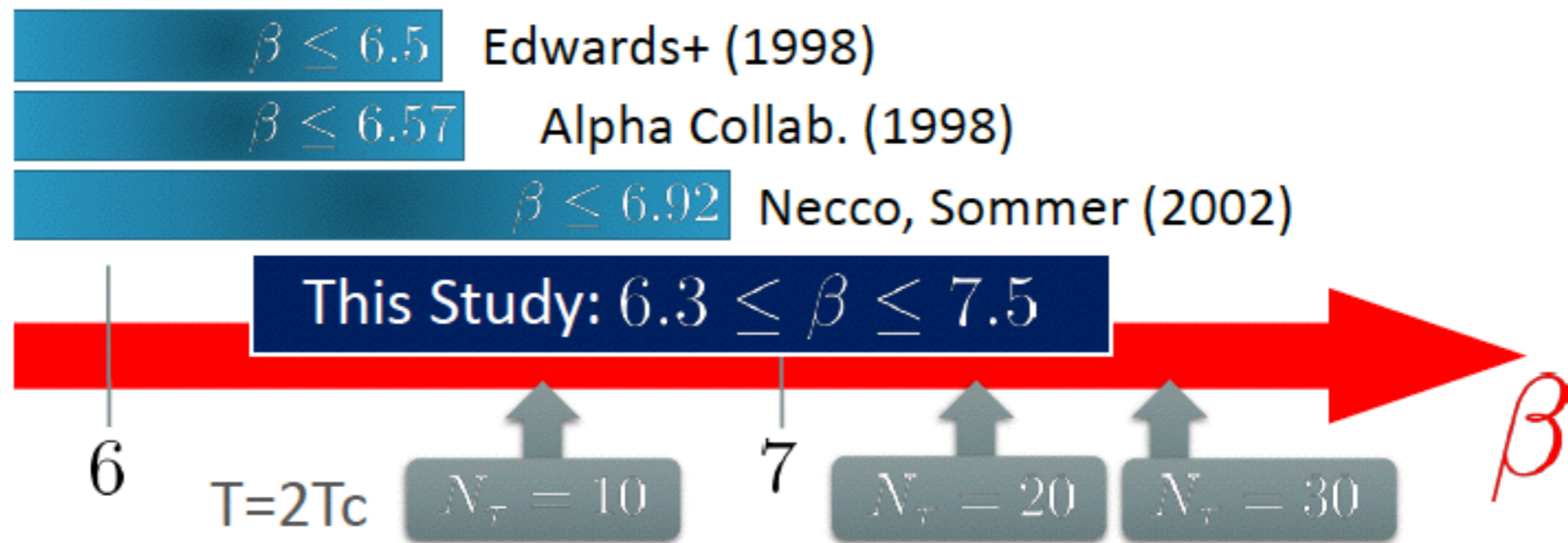
$$t^2 \langle E \rangle |_{t=t_0} = 0.3$$



$$t \frac{dt^2 \langle E \rangle}{dt} |_{t=w_0^2} = 0.3$$

高温領域、高精度計算をするためのパラメータを決定

FlowQCD, arXiv:1503.06516



our parametrization for a

$$\log \left(\frac{w_{0.4}}{a} \right) (\beta) = \frac{4\pi^2}{33} \beta - 8.6853 + \frac{37.422}{\beta} - \frac{143.84}{\beta^2}$$

stat. err. < 0.4% / sys. err. < 0.7%

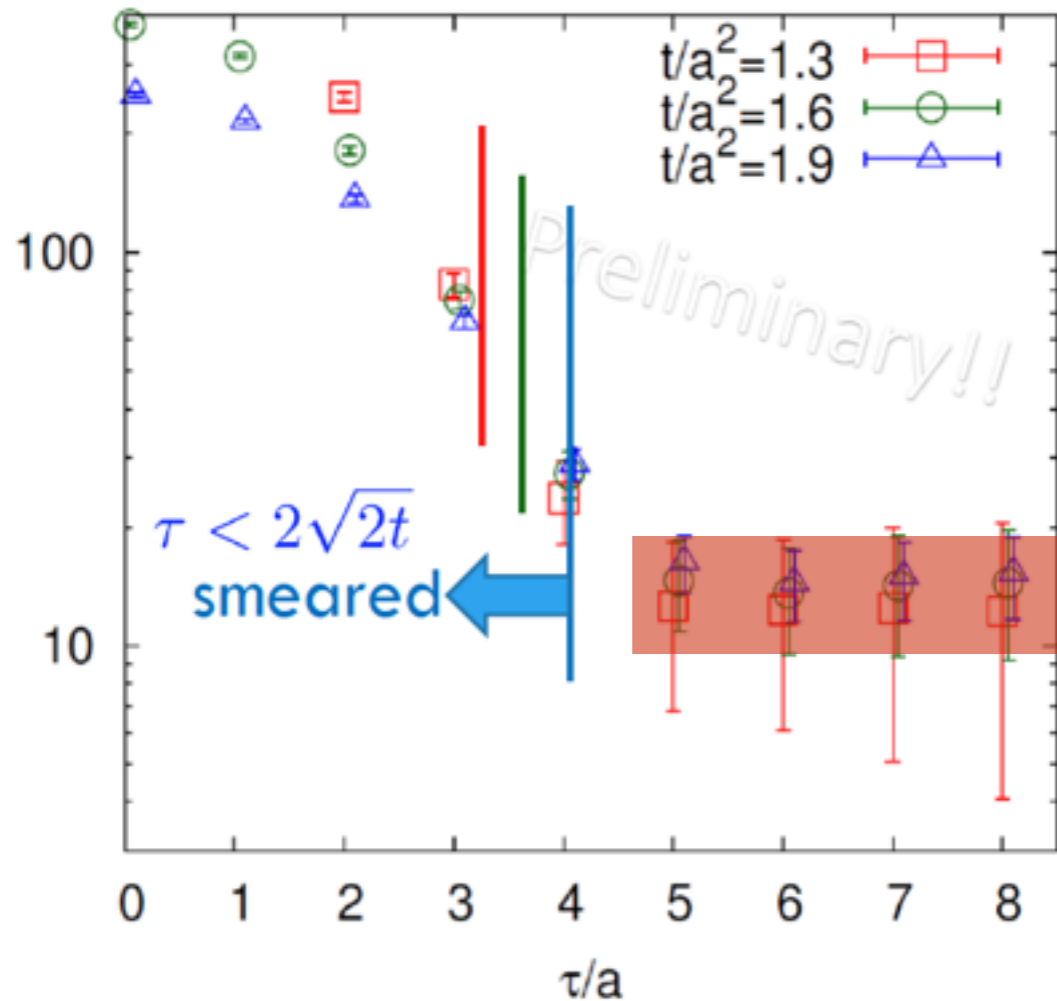
応用(2): EMTの2点関数の測定

EMT 2点相関関数

(クエンチ近似した有限温度QCD)

$$\langle T_{00}(\tau)T_{00}(0) \rangle - \langle T_{00} \rangle^2$$

$$\text{比熱 } c_V = \frac{\langle \delta E^2 \rangle}{VT^2}$$



$T=2.32T_c$

beta=7.20, $N\tau=16$

2000配位

← 虚時間非依存(エネルギー保存則)

cf) $c_V=15.3(36)$

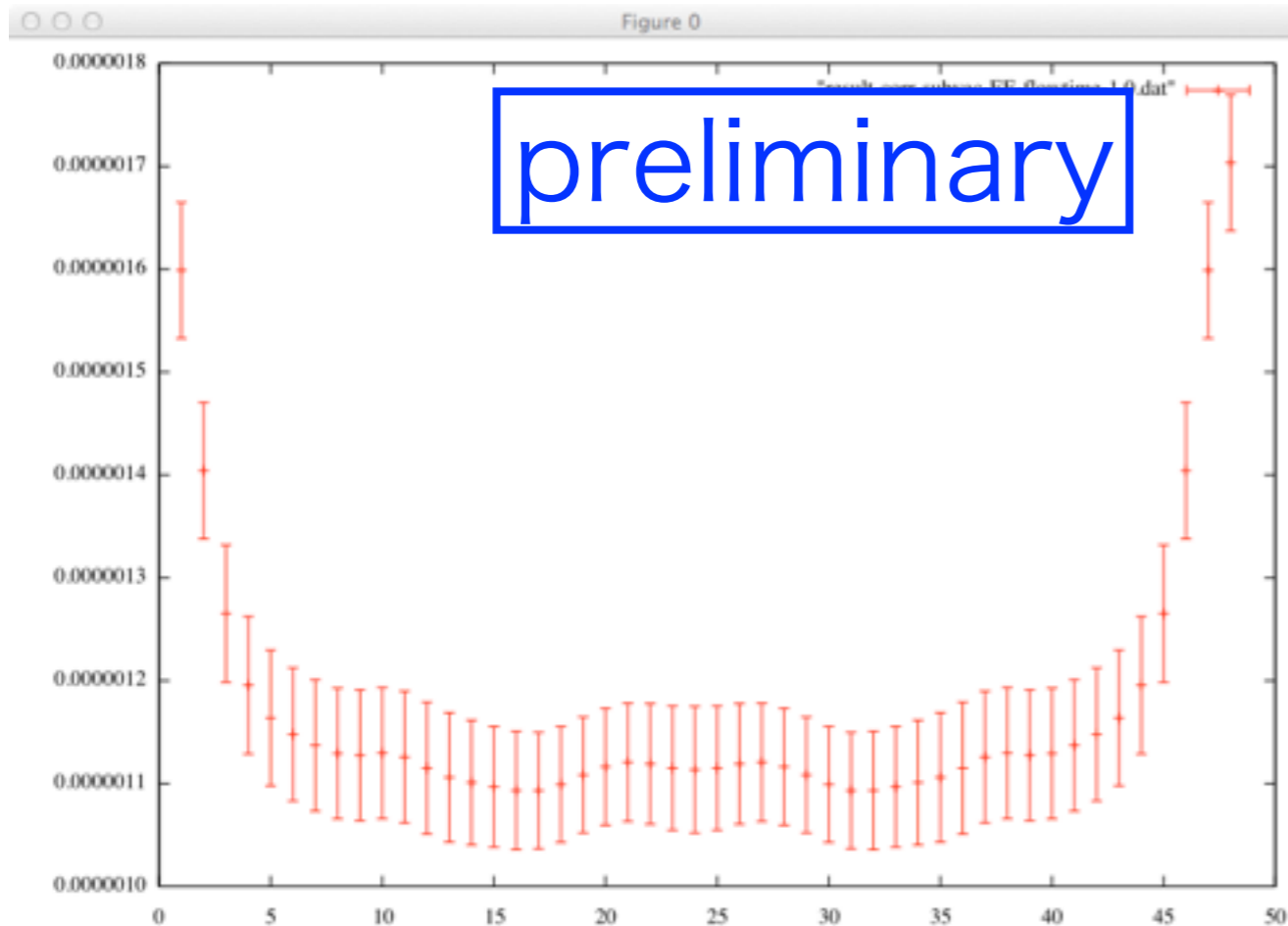
shear viscosity: $\eta = - \int \langle T_{12}(\tau)T_{12}(0) \rangle$

bulk viscosity: $\frac{4}{3}\eta + \zeta = - \int \langle T_{11}(\tau)T_{11}(0) \rangle$

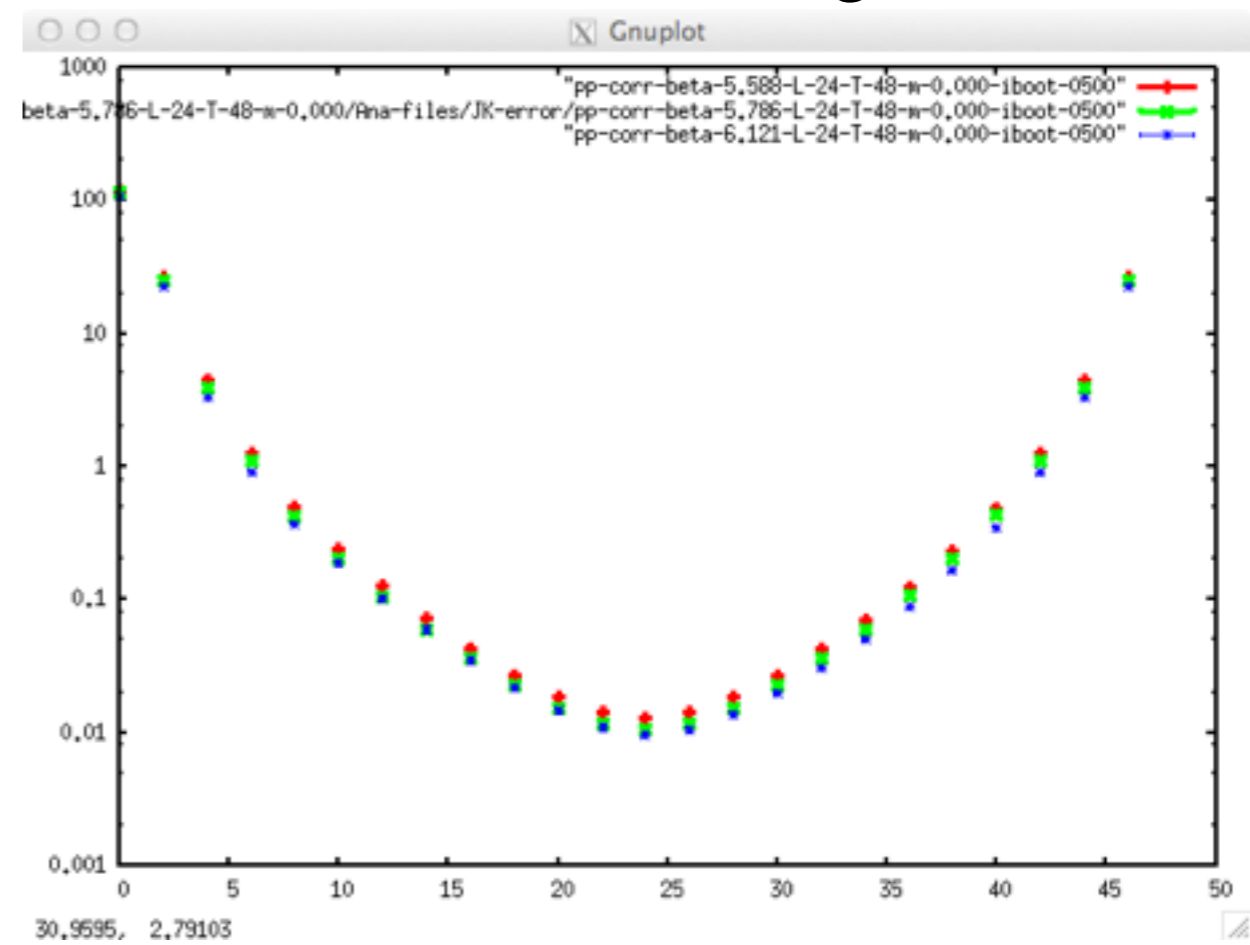
EMT 2点相関関数

(SU(3) massless Nf=12理論, conformal window)

Trace part of the EMT
vertical axis: linear scale



pseudo scalar op.
vertical axis: log scale



明らかに指数関数的ではない $\partial_\tau T_\mu^\mu = 0$

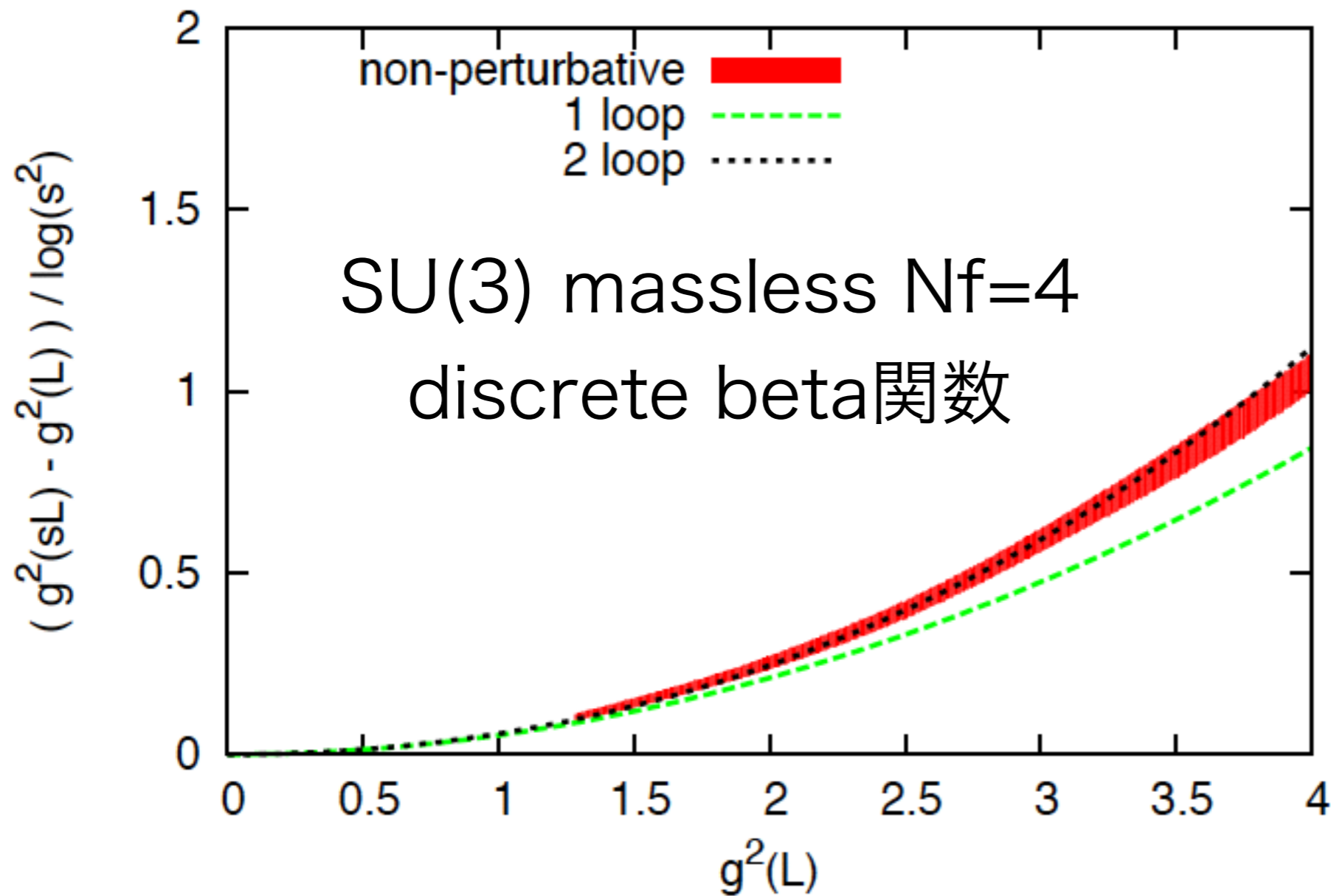
dilaton modeの測定へ

応用(3): running coupling constantの計算

応用(3): running coupling constantの計算

ex) Fodor, Holland, Kuti, Nogradi and Wong,
JHEP 1211 (2012) 007

新しい繰り込みスキーム $g^2(L) = k \langle t^2 E(t) \rangle |_{\sqrt{8t}/L = \text{fixed}}$



本質的には、gradient flowによる
統計精度の優位性を利用

応用(4): flow方程式をホログラフィー方程式と解釈

応用(4): flow方程式をホログラフィー方程式と解釈

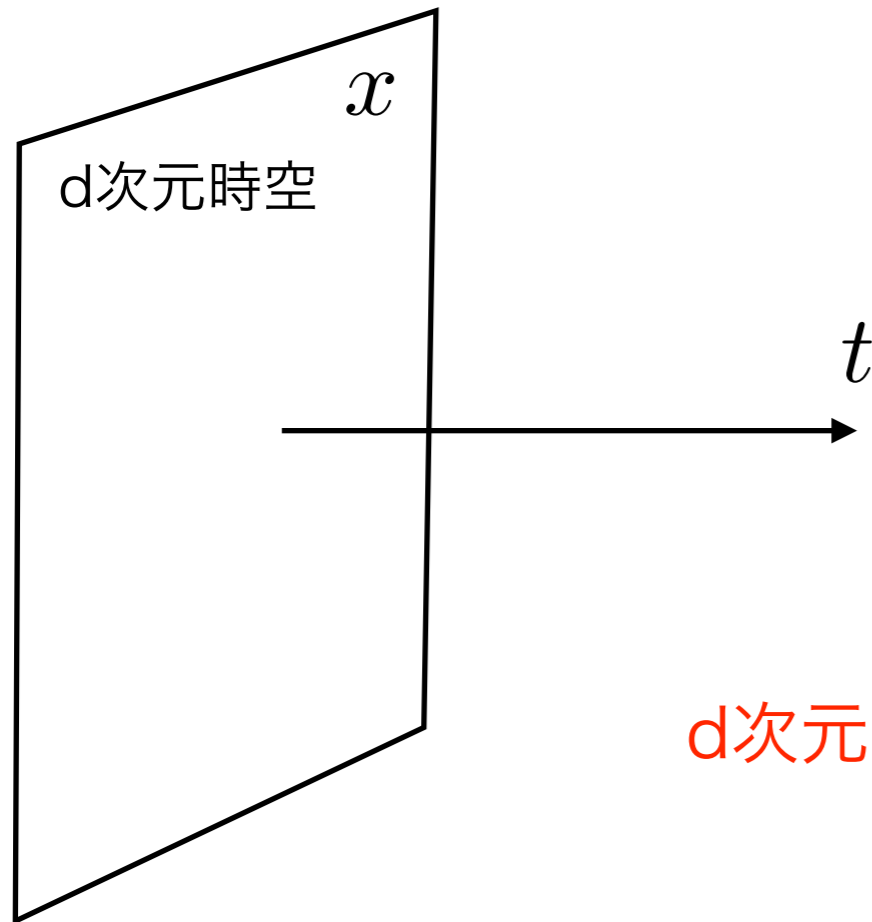
Aoki, Kikuchi and Onogi, arXiv:1505.00131

Flow方程式(continuum)

$$\partial_t B_\mu(t, x) = D_\nu G_{\nu\mu}(t, x)$$

$$t \rightarrow 0 \quad \text{UV}$$

$$t \rightarrow \infty \quad \text{IR}$$



d次元場の理論の解から、d+1次元のgeometryを読み取る

非線形シグマ模型の場合に一般化 (large Nでは厳密に解が得られる)

$$\frac{d}{dt} \phi^a(t, x) = -g^{ab} \frac{\delta S}{\delta \varphi^b} \Big|_{\varphi \rightarrow \phi}$$

応用(5): トポロジーの測定

応用(5)格子シミュレーションでトポロジーマ感受率を計算

$$Q = \frac{1}{32\pi^2} F_{\mu\nu} \tilde{F}^{\mu\nu} = \text{tr}[\gamma_5 D]$$

これまでの方法

(1)ディラック演算子のゼロモードから
 $Q = N_+ - N_-$ (計算が大変)

[Kitano and Yamada, arXiv:1506.00370](#)

(2)coolingを使って上の式を使う
なかなか整数値にならない
何回くらいcoolingすればよいか不明
(やり過ぎるとQの値が変わる)

[Berkowitz, Rinaldi and Buchhoff, arXiv.1505.07455](#)

gradient flowの利点

- ◆ 計算コストは(1)より小さく(2)よりやや大きい
- ◆ flow timeの上限は理論値から格子サイズの半分以下と予測できる

[Borsanyi, Dierigl, Fodor et al., arXiv:1508.06917](#)

[Alexandrou, Athenodorou and Jansen, arXiv:1509.04259](#)

QCDにおけるstrong CP問題

$$\mathcal{L}_{\text{QCD}} \ni \theta \frac{1}{32\pi^2} \varepsilon^{\mu\nu\rho\sigma} F_{\mu\nu} F_{\rho\sigma}$$

QCDでは、CPを破れる項を一般には入れてOK

しかし、theta項は、neutron electric dipole momentから強い制限
なぜか？

$$|\theta| \lesssim 10^{-10}$$

Peccei-Quinn 対称性を導入

この対称性の破れに付随する粒子=axionのcosmological energy densityを計算したい

axionのラグランジアン

$$\mathcal{L}_{\text{axions}} = \frac{1}{2} (\partial_\mu a)^2 + \left(\frac{a}{f_a} + \theta \right) \frac{1}{32\pi^2} \varepsilon^{\mu\nu\rho\sigma} F_{\mu\nu} F_{\rho\sigma}$$

において、 $\frac{\langle a \rangle}{f_a} + \theta \simeq 0$ が自動的になりたっていると解釈

f_a は、ラグランジアンに入れた新しいパラメータ。

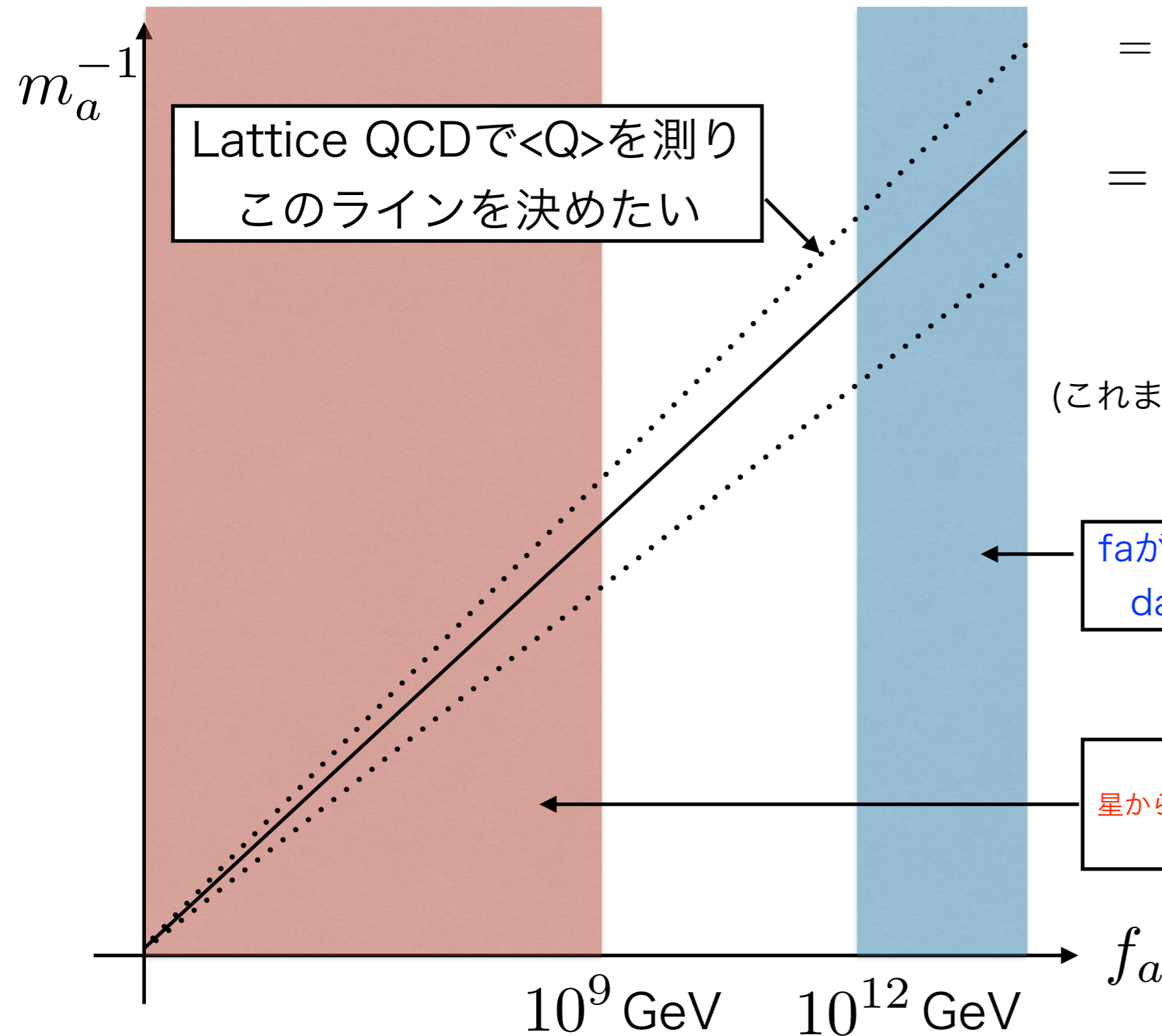
これに実験と格子から制限をつけるのが目的

トポロジー感受率とアクシオン質量の関係

$$\begin{aligned}\chi_t(T) &= \int d^4x \langle F \tilde{F}(x) F \tilde{F}(0) \rangle = \frac{\langle Q^2 \rangle}{V} \\ &= \frac{1}{V} \int d^4x d^4y \frac{d^2}{da(x) da(y)} e^{-S_{axion}} \\ &= m_a^2(T) f_a^2\end{aligned}$$

質量は温度に依存

(これまで高温dilute instanton gas模型等で計算)



Lattice QCDで $\langle Q \rangle$ を測り
このラインを決めたい

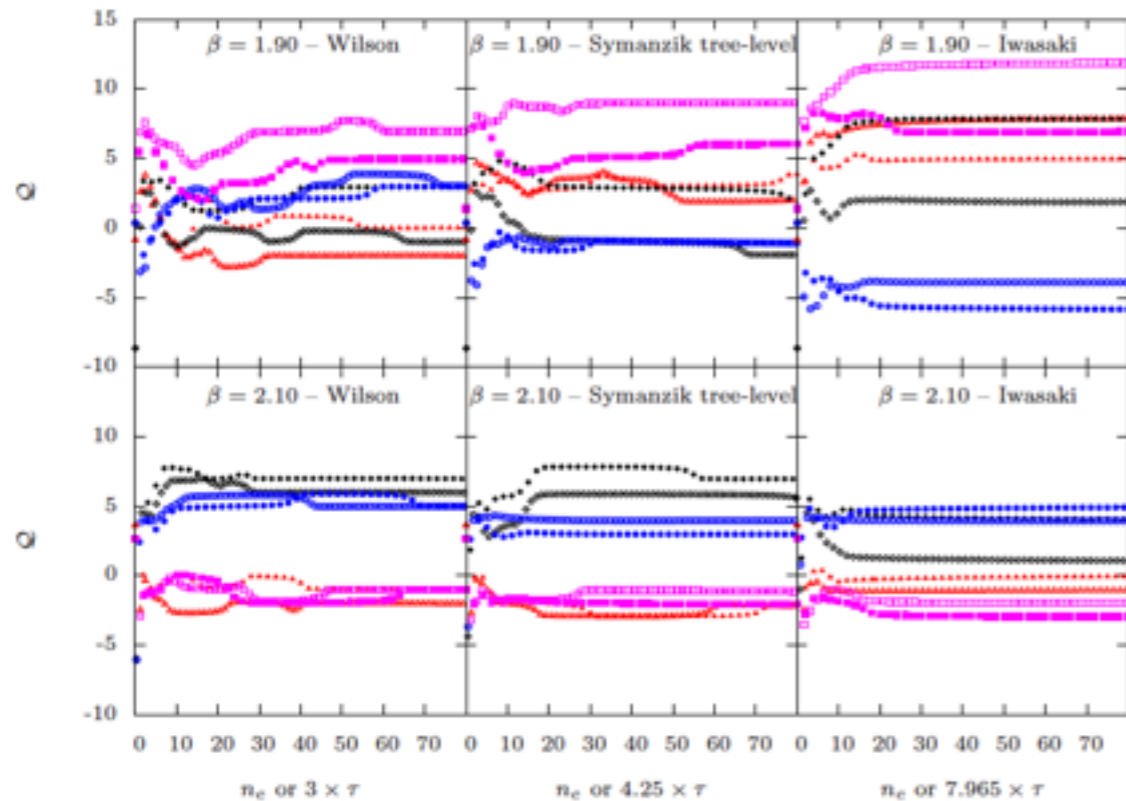
f_a が大きすぎる(アクシオンが軽すぎる)と
dark matterが多くできすぎてしまう

f_a が小さい(結合定数が大きい)と、
星からもっとアクシオンが出てきて良いことになるが、
宇宙論的観測からこれは否定されている

ゼロ温度 $N_f=2+1+1$ の場合

Alexandrou, Athenodorou and Jansen, arXiv:1509.04259

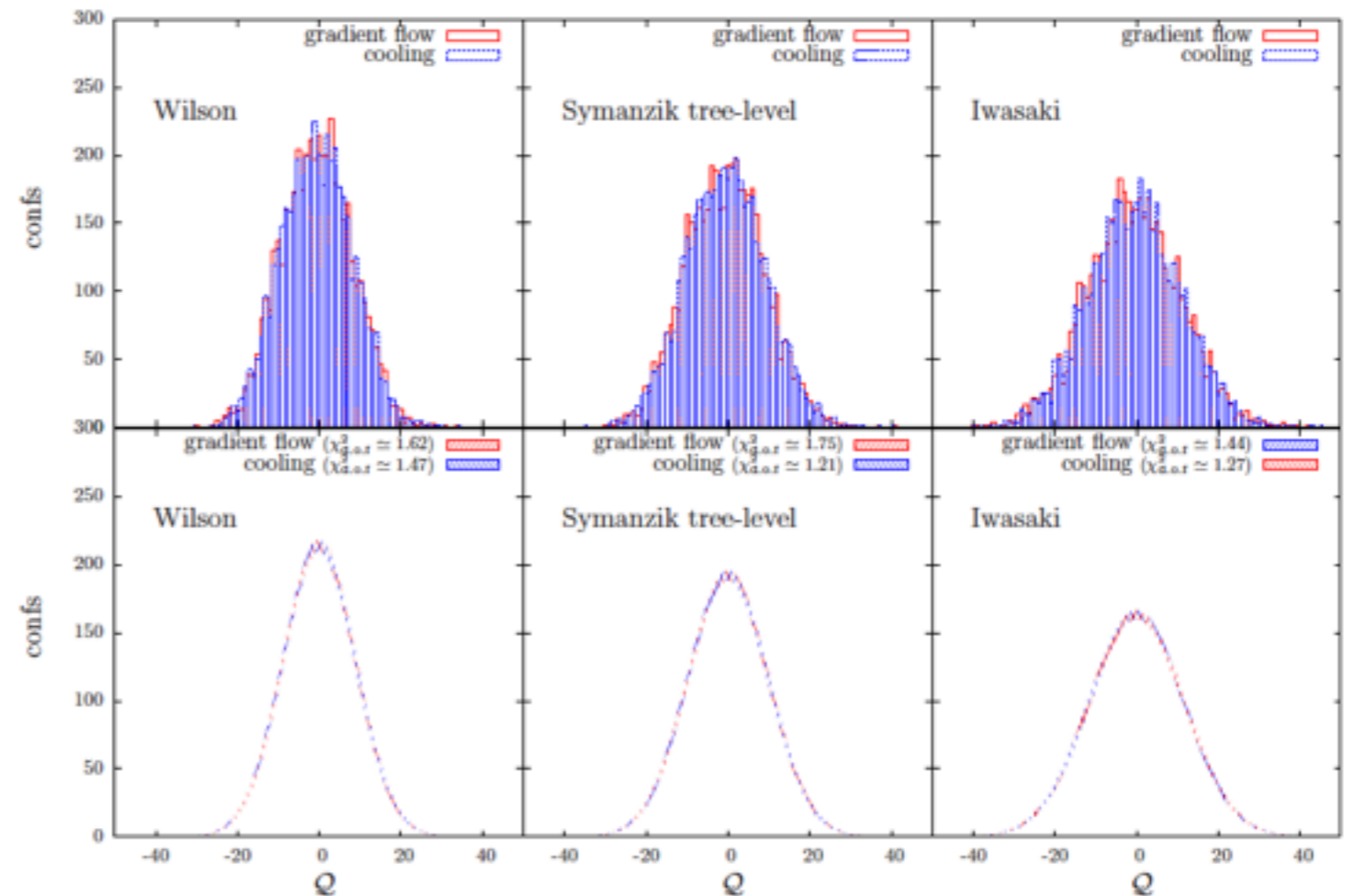
Qのflow time依存性



下のほうが格子間隔が小さい
(topologyが固定しがち)

上 : $24^3 \times 48$ $\beta=1.90$, $a=0.094$ fm
下 : $32^3 \times 64$ $\beta=2.10$, $a=0.064$ fm

Qのヒストグラム



約1000個の配位を測定

結論

- ◆ スズキメソッドで、EMTをうまく定義できているようだ。
- ◆ (熱力学量の導出法として)積分法と比べて系統誤差の累積がない。
- ◆ エントロピー密度だけなら、ゼロ温度のシミュレーションは必要ない(quenchedの場合)
- ◆ 統計的にも優位

展望

- ◆ EMTの2点関数 (比熱、shear , bulk viscosity等)
- ◆ nearly conformal theoryでのディラトンモードの測定
- ◆ トポロジ感受率からアクシオン質量の非摂動論的導出
- ◆ Lattice SUSYの新しい定式化

ばっくあっぷ

$$= \frac{1}{V} \frac{d^2}{d\theta^2} \ln Z$$

